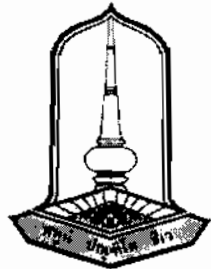


การคำนวณจำนวนอิเล็กตรอนเฉลี่ยในทราบชีสเตอร์แบบอิเล็กตรอนเดียวชนิดโลหะ<sup>๑</sup>  
โดยวิธีความตั้มมอนติคาร์โล

ตะวัน ทองสุข

รายงานวิชาโครงงานพิสิกส์  
เสนอต่อมหาวิทยาลัยมหาสารคามเพื่อเป็นส่วนหนึ่งของการศึกษาตามหลักสูตร  
ปริญญาวิทยาศาสตรบัณฑิต สาขาวิชาพิสิกส์  
เมษายน 2556  
ลิขสิทธิ์เป็นของมหาวิทยาลัยมหาสารคาม



**Calculation of Average Electron Number on  
the Metallic Single Electron Transistor  
by Quantum Monte Carlo Method**

Tawan Thongsuk

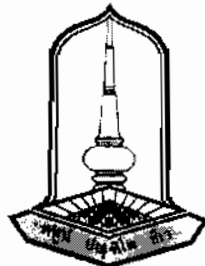
Presented in partial fulfillment of requirements for

The Bachelor Degree of Science in Physics

Mahasarakham University

April 2013

All rights reserved by Mahasarakham University



การคำนวณจำนวนอิเล็กตรอนเฉลี่ยในทราบชีสเตอร์แบบอิเล็กตรอนเดียวชนิดโดย  
โดยวิธีความตั้มมอนติคาร์โล

ลงทะเบียน

รายงานวิชาโครงงานพิสิกส์เสนอต่อมหาวิทยาลัยมหาสารคามเพื่อเป็นส่วนหนึ่งของการศึกษา  
ตามหลักสูตรปริญญาวิทยาศาสตรบัณฑิต สาขพิสิกส์

คณะกรรมการคุณสอบ:

ผู้ที่ ฤทธิ์ชัยภักดี  
(อาจารย์ ดร. ศุภชัย ฤทธิ์เจริญวัฒนา)

ประธานกรรมการ

ผู้ที่ ดร. กฤชกร ปานะโน<sup>ก</sup>  
(อาจารย์ ดร. กฤชกร ปานะโน)

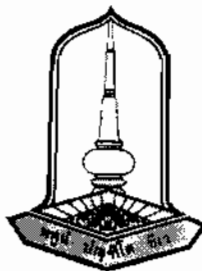
กรรมการ

ผู้ที่ ดร. ประisan ศรีวิไล<sup>ก</sup>  
(อาจารย์ ดร. ประisan ศรีวิไล)

กรรมการและอาจารย์ที่ปรึกษา

วันที่ 23 เดือน เมษายน พ.ศ. 2556





Calculation of Average Electron Number on  
the Metallic Single Electron Transistor  
by Quantum Monte Carlo Method

Tawan Thongsuk

Presented in partial fulfillment of requirements for the Degree of Bachelor of Science in Physics

Examination Committee:

*Supachai Ritijareonwattu* ..... Chairperson  
(Dr. Supachai Ritijarenwattu)

*Krisakron Pasanai* ..... Member  
(Dr. Krisakron Pasanai)

*Prathan Srivilai* ..... Member and Advisor  
(Dr. Prathan Srivilai)

Date 23 April 2013



### กิตติกรรมประกาศ

ในโครงการพิสิกส์นี้สำเร็จได้ลุล่วงไปด้วยดี ผู้จัดทำของขบคุณ อาจารย์ ดร. ประisan ศรีวิไล อาจารย์ที่ปรึกษา และคณะกรรมการ อาจารย์ ดร. ศุภชัย ฤทธิ์เจริญวัฒ อาจารย์ ดร. กฤษกร ปราสาทใน ที่ได้ให้คำปรึกษาและตรวจสอบข้อบกพร่องพร้อมทั้งชี้แนะ และภาควิชาพิสิกส์ที่สนับสนุนงบประมาณ ในโครงการพิสิกส์นี้

ขอขอบคุณคณาจารย์เจ้าหน้าที่ประจำภาควิชาพิสิกส์ คณะวิทยาศาสตร์ มหาวิทยาลัย มหาสารคามทุกท่าน ที่ได้ให้คำปรึกษาชี้แนะและช่วยเหลืออำนวยความสะดวกทั้งในด้านความรู้และ อุปกรณ์ต่างๆ สำหรับโครงการนี้

ขอบใจที่ๆ เพื่อนๆ น้องๆ ทุกคนที่มีส่วนเกี่ยวข้องให้ความช่วยเหลือและให้คำปรึกษาร่วมไปถึง กำลังใจจากทุกคนที่ทำให้โครงการนี้สำเร็จลงได้

ขอขอบพระคุณบิดา มารดา ผู้ให้กำเนิดที่ให้การอบรมเลี้ยงดูและสนับสนุนด้านการศึกษาตลอด มา

ตะวัน ทองสุข

<b>ชื่อโครงการ</b>	การคำนวณจำนวนอิเล็กตรอนเฉลี่ยในทรานซิสเตอร์แบบอิเล็กตรอนเดี่ยว ชนิดโลหะโดยวิธีความดันมอนติคาร์โล
<b>ผู้ศึกษาค้นคว้า</b>	นาย ตะวัน ทองสุข
<b>อาจารย์ที่ปรึกษา</b>	อาจารย์ ดร. ประสาร ครีวีໄລ
<b>ปริญญา</b>	วิทยาศาสตรบัณฑิต (วท.บ.) สาขาวิศวกรรมศาสตร์
<b>มหาวิทยาลัย</b>	มหาวิทยาลัยมหาสารคาม ปีที่พิมพ์ 2556

### บทคัดย่อ

โครงการนี้ได้ศึกษาและคำนวณจำนวนอิเล็กตรอนเฉลี่ยในทรานซิสเตอร์แบบอิเล็กตรอนเดี่ยวชนิดโลหะที่เกิดจากปรากฏการณ์ขัดขวางแบบคูลอมบ์และการหล่อผ่านของอิเล็กตรอน ณ อุณหภูมิต่างๆ โดยใช้วิธีความดันมอนติคาร์โล พบว่าปรากฏการณ์ดังกล่าวเกิดขึ้นเด่นชัดที่อุณหภูมิต่ำ นอกจากนี้ได้เปรียบเทียบประสิทธิภาพของการคำนวณโดยใช้ระเบียบวิธีซิงเกิลไซต์อัพเดพและฟูเรียร์อัพเดพพบว่าระเบียบวิธีที่สองมีประสิทธิภาพมากกว่าวิธีแรก กล่าวคือให้ผลการคำนวณที่มีค่าความคลาดเคลื่อนน้อยกว่าและสามารถลดเวลาในการประมวลผลได้ถึง 38%



**TITLE** Calculation of Average Electron Number on the Metallic Single Electron Transistor by Quantum Monte Carlo Method  
**AUTHOR** Mr. Tawan Thongsuk  
**ADVISOR** Dr. Prathan Srivilai  
**DEGREE** Bachelor of Science in Physics (B.Sc. Physics)  
**UNIVERSITY** Mahasarakham University **Date** 2013

### Abstract

The average electron number on the metallic single electron transistor due to the effect of Coulomb Blockade and Electron Tunneling at any temperature is calculated by using path integral Monte Carlo (PIMC) approaches. The results show that those effects are the most prominent at low temperatures. Additionally, the efficiencies of the Single Site Update Algorithm (SSU) and Fourier Update Algorithm (FFT) techniques are compared. We found that the FFT technique needed significantly less processing time than SSU method. In essence, the processing time of the FFT technique was approximately 38% of that of the SSU method.



## สารบัญ

	หน้า
กิตติกรรมประกาศ.....	ก
บทคัดย่อภาษาไทย.....	ข
บทคัดย่อภาษาอังกฤษ.....	ค
สารบัญ.....	ง
สารบัญตาราง.....	ด
สารบัญรูปภาพ .....	ช
 บทที่ 1 บทนำ.....	 1
1.1 ที่มาและความสำคัญ .....	1
1.2 วัตถุประสงค์.....	2
1.3 ขอบเขตของโครงงาน.....	3
1.4 สถานที่ทำโครงงาน .....	3
1.5 ประโยชน์ที่ได้รับ .....	3
 บทที่ 2 ทฤษฎีและงานวิจัยที่เกี่ยวข้อง .....	 4
2.1 ปรากฏการณ์ขั้นกลางแบบคูลอมบ์.....	4
2.2 กล่องอิเล็กตรอนเดี่ยว .....	5
2.3 ทรานซิสเตอร์แบบอิเล็กตรอนเดี่ยว .....	9
2.4 จำนวนอิเล็กตรอนเฉลี่ยในทรานซิสเตอร์แบบอิเล็กตรอนเดี่ยว .....	15
 บทที่ 3 วิธีการทดลอง.....	 18
3.1 วิธีการมอนติคาร์โล.....	18
3.2 การสุ่มตัวอย่างแบบมอนติคาร์โล.....	20
3.2.1 การสุ่มตัวอย่างตามความสำคัญ.....	20
3.2.2 ระเบียบวิธีของเมโนโอลิส.....	21
3.3 วิธีความตั้มมอนติคาร์โล.....	21
3.3.1 การสุ่มตัวอย่างของเส้นทางจินตภาพ.....	22
3.3.2 ระเบียบวิธีฟูเรียร์แบบมอนติคาร์โล .....	24
3.4 การคำนวณค่าเฉลี่ยของประจุโดยใช้วิธีมอนติคาร์โล.....	25
3.5 ระเบียบวิธีซิงเกิลไซด์อัพเดพ.....	28
3.6 การสุ่มตัวอย่างแบบฟูเรียร์อัพเดพ.....	30



## สารบัญ (ต่อ)

	หน้า
<b>บทที่ 4 ผลการทดลองและอภิปรายผล.....</b>	<b>32</b>
4.1 จำนวนอิเล็กตรอนเฉลี่ยในทรานซิสเตอร์แบบอิเล็กตรอนเดี่ยว .....	32
4.2 จำนวนประจุสุทธิเฉลี่ยในทรานซิสเตอร์แบบอิเล็กตรอนเดี่ยว.....	34
4.3 ผลการเปรียบเทียบระหว่างวิธีซิงค์เกิลไซต์อัพเคพและวิธีฟูเรียร์อัพเคพ .....	36
<b>บทที่ 5 สรุปผลและข้อเสนอแนะ.....</b>	<b>40</b>
5.1 สรุปผลการทดลอง .....	40
5.2 ข้อเสนอแนะ .....	40
<b>บรรณานุกรม.....</b>	<b>42</b>
<b>ประวัติผู้ทำโครงการ.....</b>	<b>44</b>

**สารบัญตาราง****หน้า**

ตารางที่ 4.1 ค่าความคลาดเคลื่อนเฉลี่ย ๖ .....	38
---	----

## สารบัญรูปภาพ

หน้า

รูปที่ 1.1 ภาพถ่ายด้วยกล้องจุลทรรศน์อิเล็กตรอนแบบส่องการดูของทราบชีสเตอร์แบบ อิเล็กตรอนเดี่ยว.....	1
รูปที่ 2.1 ตัวนำไฟฟ้าทรงกลม.....	4
รูปที่ 2.2 แบบจำลองของกล้องอิเล็กตรอนเดี่ยว .....	6
รูปที่ 2.3 ความสัมพันธ์ระหว่างพลังงาน $E_C$ (ก) กับตัวแปร $n_x$ ของกล้องอิเล็กตรอนเดี่ยว โดยค่า $k_F$ ขึ้นอยู่กับความถ่างศักย์ไฟฟ้าที่ข้างเกต .....	7
รูปที่ 2.4 ประจุเฉลี่ยในกล่องอิเล็กตรอนเดี่ยว.....	9
รูปที่ 2.5 แบบจำลองของทราบชีสเตอร์แบบอิเล็กตรอนเดี่ยว.....	10
รูปที่ 2.6 ค่าศักย์เคมีของความตันดอทที่เปลี่ยนแปลงไปเมื่อการเปลี่ยนแปลงแรงดันไฟฟ้า ที่ตอกคร่อมอยู่ระหว่างขั้วซอร์สและขั้วเดรน.....	11
รูปที่ 2.7 วงจรสมมุติที่ได้จากการใช้หกทุกภูมิฐานนิ.....	12
รูปที่ 2.8 แผนภาพความเสถียรของทราบชีสเตอร์แบบอิเล็กตรอนเดี่ยว.....	14
รูปที่ 2.9 ค่าความนำไฟฟ้าของทราบชีสเตอร์แบบอิเล็กตรอนเดี่ยว.....	15
รูปที่ 3.1 ตัวอย่างการแผ่弄เส้นทางจินตภาพ .....	22
รูปที่ 3.2 แผนผังการทำงานของโปรแกรมที่ใช้ในการคำนวนค่าเฉลี่ยของประจุโดย วิธีการอนดิคาโน.....	27
รูปที่ 3.3 แผนภูมิของขั้นตอนของการคำนวนหาจำนวนอิเล็กตรอนเฉลี่ย ในการณีของชิงค์เกลไซด์อัพเดพ.....	29
รูปที่ 3.4 แผนภูมิของขั้นตอนของการคำนวนหาจำนวนอิเล็กตรอนเฉลี่ย ในการณีของฟูเรียร์อัพเดพ .....	31
รูปที่ 4.1 ผลการคำนวนจำนวนอิเล็กตรอนเฉลี่ยในทราบชีสเตอร์แบบอิเล็กตรอนเดี่ยว.....	33
รูปที่ 4.2 ผลการคำนวนประจุสุทธิเฉลี่ยในทราบชีสเตอร์แบบอิเล็กตรอนเดี่ยว .....	35
รูปที่ 4.3 จำนวนอิเล็กตรอนเฉลี่ยจากการคำนวนโดยวิธีชิงค์เกลไซด์อัพเดพและ ฟูเรียร์อัพเดพที่ $\beta E_C = 1$ .....	37
รูปที่ 4.4 จำนวนอิเล็กตรอนเฉลี่ยโดยจากการคำนวนวิธีชิงค์เกลไซด์อัพเดพและ ฟูเรียร์อัพเดพที่ $\beta E_C = 10$ .....	37
รูปที่ 4.5 จำนวนอิเล็กตรอนเฉลี่ยโดยจากการคำนวนวิธีชิงค์เกลไซด์อัพเดพและ ฟูเรียร์อัพเดพที่ $\beta E_C = 20$ .....	38

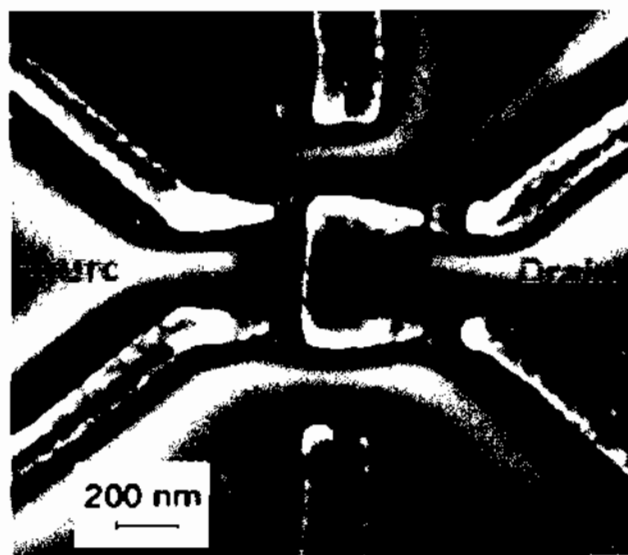
## บทที่ 1

### บทนำ

#### 1.1 ที่มาและความสำคัญ

อุปกรณ์อิเล็กทรอนเดี่ยว (Single Electron Devices) [1] เป็นอุปกรณ์ที่สามารถควบคุมให้ อิเล็กทรอนเคลื่อนที่ได้ที่ลีบหนึ่งตัว ซึ่งอุปกรณ์ดังกล่าวกำลังได้รับความสนใจอย่างกว้างขวางในการวิจัย ด้านนาโนอิเล็กทรอนิกส์ (Nanoelectronic Research) เนื่องจากมีขนาดเล็กในระดับอะตอม (Atomic Scale) มีการสูญเสียพลังงานน้อย (Low Power Dissipation) และสามารถประยุกต์ใช้งานได้ หลากหลาย เช่น คอมพิวเตอร์ควอนตัม (Quantum Computers) เซลล์แสงอาทิตย์ (Solar Cells) สิ่งประดิษฐ์เชิงตรรกะ (Logic Devices) เป็นต้น

ในการอธิบายปรากฏการณ์ทางฟิสิกส์ที่เกิดขึ้นในอุปกรณ์อิเล็กทรอนเดี่ยว จำเป็นต้องใช้ทฤษฎี ควอนตัมของอนุภาคหลายตัว (Quantum Many Body Theory) [2] ร่วมกับการประมวลผลแบบ ควอนตัมนอนติคาโรโล (Quantum Monte Carlo Simulation) แต่อย่างไรก็ตาม ในการประยุกต์ใช้ ทฤษฎีดังกล่าวเพื่ออธิบายปรากฏการณ์ที่เกิดขึ้นในอุปกรณ์อิเล็กทรอนเดี่ยว ยกตัวอย่างเช่น ปรากฏการณ์การขัดขวางแบบคูลอมบ์ (Coulomb Blockade Effect) [3] และการเพิ่มอิเล็กทรอนเข้าไปในควอนตัมโดท (Quantum Dot) ยังต้องถูกศึกษาและพัฒนาเพิ่มเติมเพื่อให้ได้เงื่อนไขของการเกิด ปรากฏการณ์ดังกล่าวในอุปกรณ์อิเล็กทรอนเดี่ยว เพื่อนำไปสู่องค์ความรู้ในการออกแบบและประยุกต์ใช้ งานอุปกรณ์อิเล็กทรอนเดี่ยวได้อย่างมีประสิทธิภาพ



รูปที่ 1.1 ภาพถ่ายด้วยกล้องจุลทรรศน์อิเล็กทรอนแบบส่องกราด (Scanning Electron Microscope; SEM) ของทรานซิสเตอร์แบบอิเล็กทรอนเดี่ยวชนิดโลหะ [4]

ทรานซิสเตอร์แบบอิเล็กตรอนเดี่ยว (Single Electron Transistor) [1] เป็นอุปกรณ์อิเล็กตรอนเดี่ยวที่เป็นเครื่องมือที่น่าสนใจในการศึกษาประการณ์การขัดขวางของคูลอมบ์ ซึ่งเป็นประการณ์ที่ทำให้สามารถควบคุมอิเล็กตรอนให้เคลื่อนผ่านอุปกรณ์ได้ที่ระดับหนึ่งตัว ในโครงการนี้ได้ทำการศึกษาทรานซิสเตอร์แบบอิเล็กตรอนเดี่ยวชนิดโลหะ (Metallic Single Electron Transistor) [4] ดังแสดงในรูป 1.1 โดยทั่วไปทรานซิสเตอร์แบบอิเล็กตรอนเดี่ยวประกอบไปด้วยรอยต่อของการหดตัว (Tunneling Junction) คันอยู่ระหว่างขั้วซอร์ส (Source) กับความตั้มดอท และความตั้มดอทกับขั้วเดรน (Drain) โดยขั้วซอร์สและขั้วเดรนสามารถเชื่อมต่อกันแรงดันไฟฟ้าภายนอกได้ศักยไฟฟ้าสถิต (Electrostatic Potential) ภายในความตั้มดอทสามารถปรับเปลี่ยนได้โดยการเปลี่ยนแปลงสนามไฟฟ้าที่ขั้วเกต (Gate Electrode) ในระบบนี้กำหนดให้อิเล็กตรอนสามารถหดตัวผ่านรอยต่อได้เฉพาะรอยต่อที่อยู่ระหว่างขั้วซอร์สกับความตั้มดอทและความตั้มดอทกับขั้วเดรนเท่านั้น โดยรอยต่อระหว่างขั้วเกตกับความตั้มดอทถูกสร้างให้มีความหนามากพอจนกระทั่งอิเล็กตรอนไม่สามารถทะลุผ่านรอยต่อระหว่างขั้วเดรนเท่านั้นได้ ดังนั้นมีความต่างศักย์ที่ขั้วเกตมีค่าเหมาะสมสมอิเล็กตรอนจึงสามารถเคลื่อนที่เฉพาะขั้วซอร์สไปยังขั้วเดรนเท่านั้น นอกจากนี้จำนวนอิเล็กตรอนเฉลี่ยในทรานซิสเตอร์แบบอิเล็กตรอนเดี่ยวซึ่งอยู่กับค่าความต่างศักย์ที่ขั้วเกตนี้อิกด้วย ซึ่งถ้าเราทราบถึงเงื่อนไขในการเพิ่มหรือลดจำนวนอิเล็กตรอนเฉลี่ยในทรานซิสเตอร์แบบอิเล็กตรอนเดี่ยว ก็จะเป็นประโยชน์อย่างมากในการประยุกต์ใช้ งานชนิดนี้ แต่เนื่องจากค่าเฉลี่ยของอิเล็กตรอนในทรานซิสเตอร์แบบอิเล็กตรอนเดี่ยวไม่สามารถคำนวณได้โดยตรง ดังนั้นจึงต้องประยุกต์ใช้วิธีการมอนติคาร์โลเพื่อคำนวณค่าอิเล็กตรอนเฉลี่ย ซึ่งวิธีดังกล่าวได้กลายเป็นวิธีมาตรฐานในการศึกษาอุปกรณ์อิเล็กตรอนเดี่ยว

ในโครงการนี้ได้ทำการคำนวณจำนวนอิเล็กตรอนเฉลี่ยและประจุรวมสุทธิในทรานซิสเตอร์แบบอิเล็กตรอนเดี่ยวโดยใช้ระเบียบวิธีซิงค์เกิลไซต์อัพเดท (Single Site Update Algorithm) [5] นอกจากนี้เพื่อพัฒนาระเบียบวิธีของมอนติคาร์โลให้มีประสิทธิภาพสูงยิ่งขึ้นโครงการนี้ยังได้ทำการคำนวณปริมาณดังกล่าวอิกครั้งด้วยระเบียบวิธีฟูเรียร์อัพเดท (Fourier Update Algorithm) [6] โดยนำผลการคำนวณมาเปรียบเทียบกับวิธีซิงค์เกิลไซต์อัพเดท เพื่อแสดงให้เห็นว่าวิธีการใหม่มีประสิทธิภาพดีที่สุดและเหมาะสมในการคำนวณจำนวนอิเล็กตรอนเฉลี่ยในทรานซิสเตอร์แบบอิเล็กตรอนเดี่ยว

## 1.2 วัตถุประสงค์ของการวิจัย

1.2.1 เพื่อคำนวณจำนวนอิเล็กตรอนเฉลี่ยและประจุสุทธิในทรานซิสเตอร์แบบอิเล็กตรอนเดี่ยวชนิดโลหะ

1.2.2 เพื่อประยุกต์ใช้วิธีฟูเรียร์มอนติคาร์โลในการคำนวณหาจำนวนอิเล็กตรอนเฉลี่ย

### 1.3 ขอบเขตของงานวิจัย

จำนวนจำนวนอิเล็กตรอนเฉลี่ยในทรานซิสเตอร์แบบอิเล็กตรอนเดียวชนิดโลหะ ที่อยู่หนา 5 ค่ากล่าวคือ  $\beta E_c = \{1, 5, 10, 15, 20\}$  และค่าแรงดันไฟฟ้าแบบไม่มีหน่วย (Dimensionless Gate Voltage)  $n_g$  อยู่ในช่วง (0,1)

### 1.4 สถานที่ทำการวิจัย

ภาควิชาพิสิกส์ คณะวิทยาศาสตร์ มหาวิทยาลัยมหาสารคาม

### 1.5 ประโยชน์ที่ได้รับ

1.5.1 สามารถนำองค์ความรู้ที่ได้ไปประยุกต์ใช้ในการคำนวณหาจำนวนอิเล็กตรอนเฉลี่ยในอุปกรณ์อิเล็กตรอนเดียวแบบอื่นๆได้

1.5.2 สามารถประยุกต์ใช้รับเปลี่ยนวิธีฟูเรียร์มอนติคาร์โล ในการศึกษาอุปกรณ์อิเล็กตรอนเดียวได้

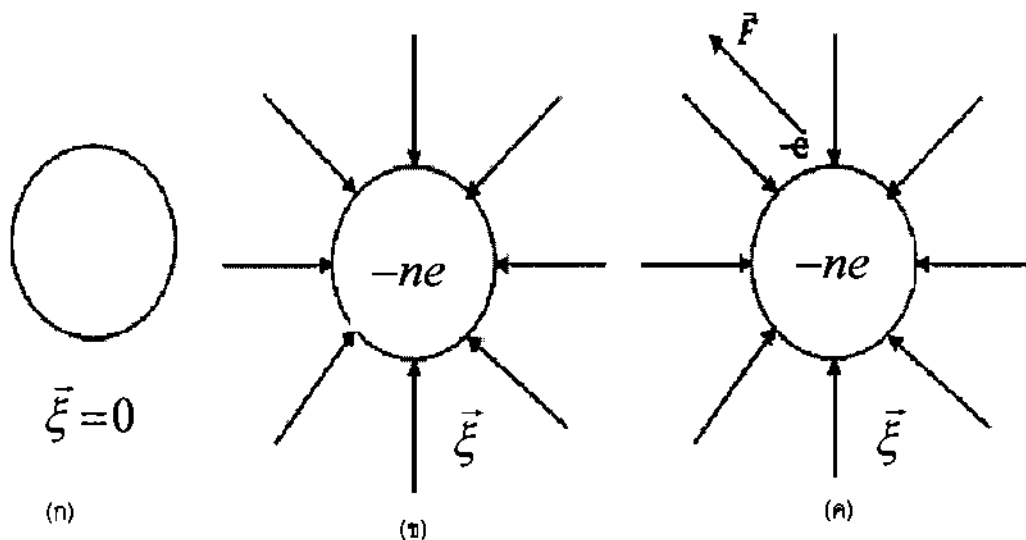
## บทที่ 2

### ทฤษฎีและงานวิจัยที่เกี่ยวข้อง

ในบทนี้ได้กล่าวถึงปรากฏการณ์ขัดขวางแบบคูลอมบ์เป็นหัวข้อเริ่มต้น เพื่อแสดงให้เห็นถึงความสำคัญของปรากฏการณ์ขัดขวางแบบคูลอมบ์ ซึ่งนำไปสู่การเกิดขึ้นของอุปกรณ์อิเล็กทรอนเดียวจากนั้นในหัวข้อที่ 2.2 และ 2.3 ได้นำเสนอผลการทดลองและแบบจำลองทางทฤษฎีของอุปกรณ์อิเล็กทรอนเดียวแบบพื้นฐาน กล่าวคือ กล่องอิเล็กทรอนเดียว (Single Electron Box) [7] และ ทรานซิสเตอร์แบบอิเล็กทรอนเดียว (Single Electron Transistors) ตามลำดับ เพื่อเป็นพื้นฐานในการเข้าใจปรากฏการณ์ทางพิสิกส์ที่เกิดขึ้นในทรานซิสเตอร์แบบอิเล็กทรอนเดียว ในหัวข้อที่ 2.4 ได้นำเสนอ ทฤษฎีและวิธีการคำนวณจำนวนอิเล็กตรอนเฉลี่ยในทรานซิสเตอร์แบบอิเล็กทรอนเดียวซึ่งเป็นวัตถุประสงค์หลักของโครงการวิจัยนี้

#### 2.1 ปรากฏการณ์ขัดขวางแบบคูลอมบ์

ในการอธิบายปรากฏการณ์ขัดขวางแบบคูลอมบ์ในอุปกรณ์อิเล็กทรอนเดียว ให้พิจารณาตัวนำไฟฟ้าทรงกลมด้าน (Spherical Conductor) ในเงื่อนไขต่างๆ ดังแสดงในรูปที่ 2.1



รูปที่ 2.1 (ก) ตัวนำไฟฟ้าทรงกลมที่มีประจุรวมสุทธิเริ่มต้นเป็นศูนย์ รูปที่ 2.1 (ข) ตัวนำไฟฟ้าทรงกลมที่มีประจุไฟฟ้ารวมสุทธิ  $-ne$  มีสนามไฟฟ้า  $\vec{\xi}$  ส่วนรูปที่ 2.1 (ค) การเพิ่มประจุไฟฟ้า  $(-e)$  เข้าไปในระบบ เนื่องจากแรงคูลอมบ์ประจุ  $(-e)$  จะถูกผลักด้วยแรง  $\vec{F}$  ซึ่งขนาดของแรงผลักดันอยู่กับค่า  $-ne$  นั้นเอง

จากรูป กำหนดให้ที่เวลาเริ่มต้นทรงกลมดังกล่าวเป็นกลางทางไฟฟ้ากล่าวคือมีจำนวนประจุไฟฟาร์มสุทธิเป็นศูนย์ ซึ่งในการนี้สนามไฟฟ้า ดังที่มีค่าเป็นศูนย์ด้วยเห็นกัน ในลำดับต่อมาถ้านำประจุไฟฟ้า ( $-en$ ) เข้าไปไว้ในทรงกลม ดังรูปที่ 2.1 (ข) จากกฎของเกาส์ (Gauss's Law) พบร่วม

$$\oint \vec{E} \cdot d\vec{a} = \frac{-Q}{\epsilon_0} \quad (2.1)$$

ดังนั้นขนาดของสนามไฟฟ้าที่เกิดขึ้นเนื่องจากประจุดังกล่าวมีค่าเป็นไปตามสมการ

$$|E| = \frac{ne}{4\pi\epsilon_0 R^2} \quad (2.2)$$

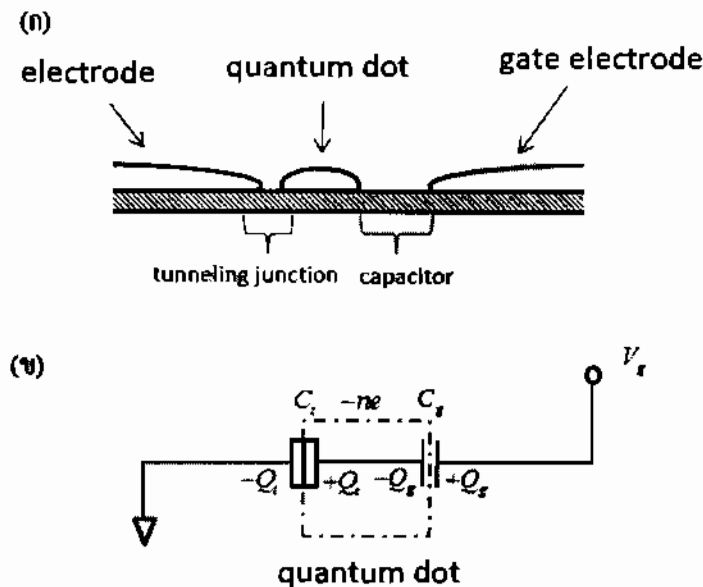
เมื่อ  $\epsilon_0$  คือ สภาพผ่านได้ของสุญญากาศ (Permittivity of Vacuum) และ  $R$  คือระยะห่างจากจุดศูนย์กลางของทรงกลม จากสมการ (2.2) พบร่วมว่าสนามไฟฟ้าที่เกิดขึ้นจะขึ้นอยู่กับขนาดของประจุรวมสุทธิของทรงกลมและระยะ  $R$  ในลำดับต่อมาตามรูปที่ 2.1 (ค) ถ้าต้องการเพิ่มประจุไฟฟ้า ( $-e$ ) อีกหนึ่งตัวเข้าไปในระบบดังกล่าว ประจุดังกล่าวจะซุกผลักด้วยแรงคูลอมบ์ ดังนั้นถ้านำประจุดังกล่าวเข้าไปในทรงกลมนี้พลังงานที่สะสมอยู่ในระบบ (Stored Energy) สามารถคำนวณได้จาก

$$E = \int_{-\infty}^{(n+1)e} \frac{qdq}{C} = \frac{e^2}{C} \left( n + \frac{1}{2} \right) \quad (2.3)$$

เมื่อ  $C$  หมายถึงค่าความจุไฟฟ้า (Capacitance) ของระบบ จากสมการที่ (2.3) เนื่องจากจำนวนประจุของอิเล็กตรอนมีค่าไม่ต่อเนื่องกล่าวคือเป็นจำนวนเท่าของ ( $-e$ ) ดังนั้นในการเพิ่มอิเล็กตรอนเข้าไปในระบบจึงทำได้ไม่ต่อเนื่องตามไปด้วย กล่าวคือ พลังงานในการเพิ่มประจุให้กับระบบตามสมการที่ (2.3) มีค่าไม่ต่อเนื่องนั่นเอง ซึ่งเป็นผลมาจากการผลักระหว่างประจุ ดังนั้นปรากฏการณ์ที่เกิดขึ้นจึงถูกเรียกว่าปรากฏการณ์ขัดขวางแบบคูลอมบ์ (Coulomb Blockade Effect) ในทั้งข้อต่อไปจะกล่าวถึงผลของการขัดขวางแบบคูลอมบ์ในอุปกรณ์อิเล็กตรอนเดียว (Single Electron Devices) ชนิดพื้นฐานเพื่อนำไปสู่ความเข้าใจปรากฏการณ์ทางพิสิกส์ที่เกิดขึ้นในทราบชีสเตอร์แบบอิเล็กตรอนเดียว

## 2.2 กล่องอิเล็กตรอนเดียว

ในทั้งข้อนี้กล่าวถึงปรากฏการณ์การขัดขวางแบบคูลอมบ์ในอุปกรณ์อิเล็กตรอนเดียวที่มีชื่อเรียกว่ากล่องอิเล็กตรอนเดียวซึ่งมีแบบจำลอง ดังรูปที่ 2.2 (ก)



รูปที่ 2.2 (ก) แบบจำลองของกล่องอิเล็กตรอนเดี่ยวซึ่งประกอบไปด้วยรอยต่อของการห惚ลุ่มผ่านหนึ่ง รอยต่อและหนึ่งความตั้มดอท รูปที่ 2.2 (ข) วงจรสมมูลของกล่องอิเล็กตรอนเดี่ยว [8]

กล่องอิเล็กตรอนเดี่ยวประกอบไปด้วยความตั้มดอทที่วางอยู่ตรงกลางระหว่างขั้วตัวนำ (Electrode) กับขั้วเกต (Gate Electrode) โดยมีรอยต่อของการห惚ลุ่มผ่านเพียงรอยต่อเดียว จาก คุณสมบัติของรอยต่อของการห惚ลุ่มผ่านซึ่งทำหน้าที่เปลี่ยนตัวเก็บประจุ ดังนั้นในระบบนี้จึงมีตัวเก็บประจุ ส่องด้วยลักษณะเดียวกับประจุที่อยู่ระหว่างขั้วตัวนำกับความตั้มดอทและความตั้มดอทกับขั้วเกต

เนื่องจากในบริเวณขั้วเกตกับความตั้มดอทถูกสร้างให้มีความหนามากพอ เพื่อไม่ให้อิเล็กตรอน สามารถห惚ลุ่มผ่านจากความตั้มดอทมาอย่างขั้วเกตได้ แต่เมื่อมีการเปลี่ยนแปลงสถานะไฟฟ้าที่ขั้วเกต จะทำ ให้ศักยภาพไฟฟ้าสถิติที่ความตั้มดอทมีการเปลี่ยนแปลงตามไปด้วยและทำให้อิเล็กตรอนที่อยู่ที่ขั้วกราวด์ (Ground) มีโอกาสห惚ลุ่มผ่านมาอย่างความตั้มดอทได้ ดังนั้นการห惚ลุ่มผ่านของอิเล็กตรอนจะถูกควบคุมโดย แรงดันไฟฟ้าที่ให้กับขั้วเกต นอกจากนี้เพื่อศักยภาพล่อของอิเล็กตรอนเดี่ยว จำเป็นต้องสร้างวงจรสมมูลซึ่ง วงจรสมมูลของกล่องอิเล็กตรอนเดี่ยวได้แสดงไว้ในรูป 2.2 (ข) กล่องอิเล็กตรอนเดี่ยวประกอบไปด้วยตัว เก็บประจุสองตัว ตัวเก็บประจุด้านซ้าย  $C_t$  อยู่ที่รอยต่อของการห惚ลุ่มผ่าน และตัวเก็บประจุตัวที่สอง  $C_s$  อยู่ระหว่างขั้วเกตกับความตั้มดอท จากรูปที่ 2.2 (ข) พบร่วมมือการเพิ่มประจุ  $n$  ตัวเข้าไปในกล่อง อิเล็กตรอนเดี่ยวเป็นไปด้วยสมการ

$$n(-e) = Q_t - Q_s \quad (2.4)$$

ดังนั้นจำนวนประจุที่ห惚ลุ่มผ่านเข้าไปในความตั้มดอท มีค่าเป็นไปด้วยสมการ

$$Q_t = -e(n - n_s) \quad (2.5)$$

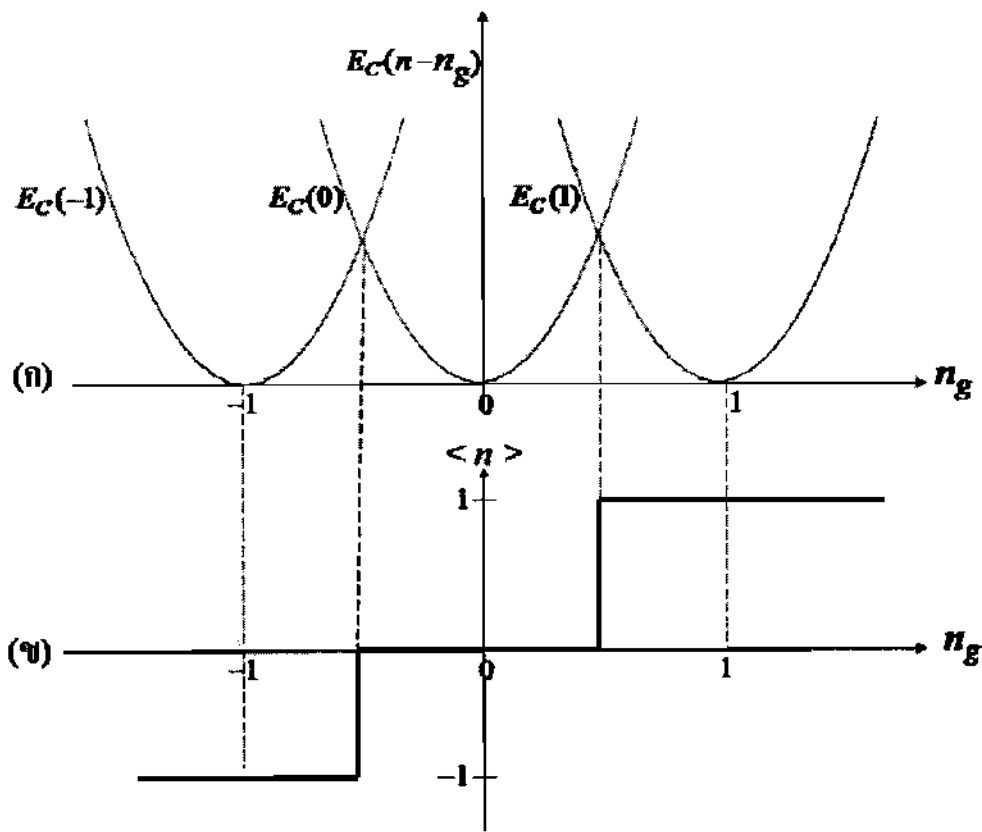
เมื่อ  $n_s = Q/e$  ดังนั้นพลังงานการเพิ่มประจุ (Charging Energy) สามารถคำนวณได้ดังสมการ

$$E_C(n) = \int_0^a \frac{qdq}{C_\Sigma} = \frac{Q^2}{2C_\Sigma} = \frac{e^2}{2C_\Sigma} (n - n_g)^2 \quad (2.6)$$

เมื่อ  $C_\Sigma$  คือผลรวมของตัวเก็บประจุกล่าวคือเมื่อมองออกมายังความตันดอทตัวเก็บประจุทั้งสองตัวจะต่อแบบขนานกันโดย  $C_\Sigma = C_s + C_g$  จากสมการที่ (2.6) พลังงานที่ใช้ในการเพิ่มอิเล็กตรอนเข้าไปในกล่องอิเล็กตรอนเดียว จะถูกกำหนดโดยแรงดันไฟฟ้าที่ขึ้นเกตโดยนิยามตัวแปร  $n_g$  ตามสมการ

$$n_g = \frac{C_s V_g}{e} \quad (2.7)$$

โดย  $V_g$  คือแรงดันไฟฟ้าที่ขึ้นเกต และ  $C_s$  คือค่าความจุไฟฟ้าที่ขึ้นเกต จากสมการ (2.6) พบว่าค่า  $n_g$  มีค่าเพิ่มขึ้นแบบต่อเนื่องโดยขึ้นอยู่กับแรงดันไฟฟ้าที่ขึ้นเกต แต่จำนวนอิเล็กตรอนเฉลี่ยที่เพิ่มขึ้นหรือลดลง ( $\langle n \rangle$ ) นิค่าไม่ต่อเนื่องกล่าวคือต้องเป็นจำนวนเต็ม ดังนั้นความสัมพันธ์ระหว่างแรงดันไฟฟ้าที่ขึ้นเกต กับจำนวนอิเล็กตรอนเฉลี่ยจึงมีลักษณะเป็นฟังก์ชันขั้นบันได ดังแสดงในรูป 2.3 (x)



รูปที่ 2.3 (x) ความสัมพันธ์ระหว่างพลังงาน  $E_C(n)$  กับตัวแปร  $n_g$  ของกล่องอิเล็กตรอนเดียว โดยค่า  $n_g$  ขึ้นอยู่กับความต่างศักย์ไฟฟ้าที่ขึ้นเกต รูปที่ 2.3 (x) จำนวนประจุเฉลี่ยกายนอกกล่องอิเล็กตรอนเดียว ( $\langle n \rangle$ ) ขึ้นอยู่กับค่า  $n_g$  ด้วยเช่นกัน [13]

ปรากฏการณ์การขัดขวางแบบคูลอมบ์เกิดขึ้นเนื่องจากการที่อิเล็กตรอนไม่สามารถเคลื่อนเข้าไปในความตั้มดอทได้จนกว่าศักย์ไฟฟ้าที่ข้างเกตมีค่าเท่ากับศักย์ไฟฟ้าซีดเริ่ม  $V_g^{Th}(n)$  โดยศักย์ไฟฟ้าซีดเริ่มสามารถคำนวณได้จากสมการ (2.3) กล่าวคือ

$$V_g^{Th}(n) = \frac{e}{C_g} \left( n \pm \frac{1}{2} \right) \quad (2.8)$$

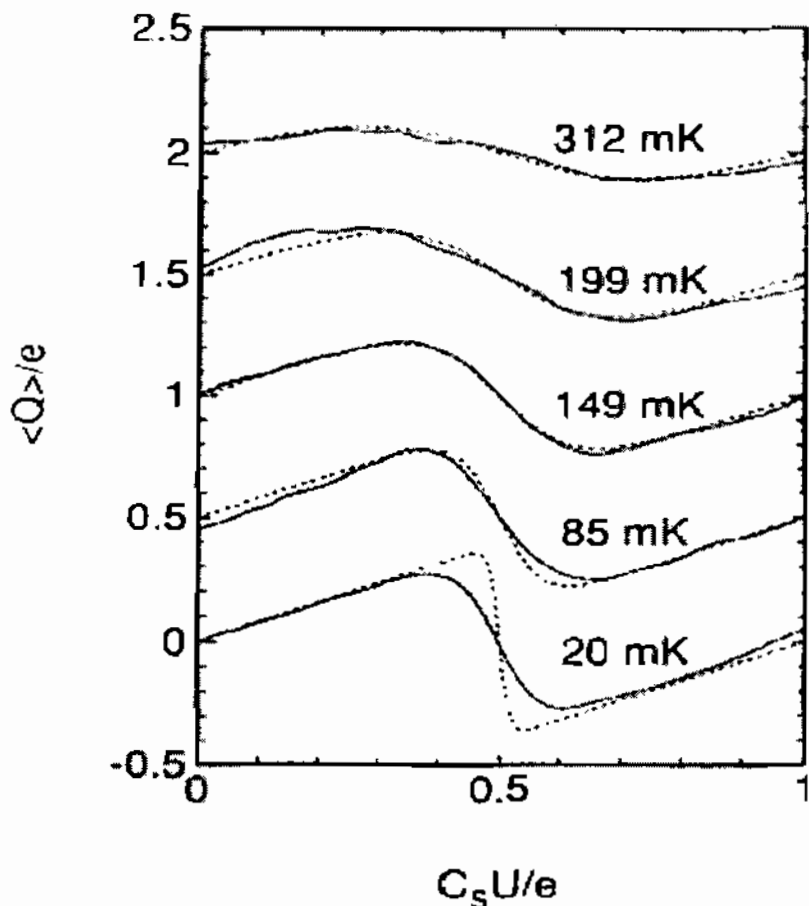
จากสมการ (2.6) ความสัมพันธ์ระหว่าง  $E_C(n)$  กับค่า  $n_g$  เป็นสมการพาราโบลา (Parabola Equation) และพลังงานมีการเปลี่ยนแปลงที่  $n_g = n \pm 1/2$  ซึ่งบริเวณดังกล่าวจำนวนอิเล็กตรอนในกล่องจะเพิ่มขึ้นหรือลดลงหนึ่งตัวเสมอ ดังรูปที่ 2.3 การเพิ่มขึ้นของจำนวนอิเล็กตรอนเฉลี่ยถูกกำหนดด้วยความต่างศักย์ที่ข้างเกตเป็นไปตามสมการ

$$\left( n - \frac{1}{2} \right) \frac{e}{C_g} < V_g < \left( n + \frac{1}{2} \right) \frac{e}{C_g} \quad (2.9)$$

รูปที่ 2.4 แสดงการเปรียบเทียบระหว่างผลการทดลองและผลการคำนวณค่าประจุสุทธิเฉลี่ย ( $\langle Q \rangle$ ) ที่อยู่ของกล่องอิเล็กตรอนเดียว โดยค่าประจุสุทธิเฉลี่ยสามารถเขียนในเทอมของจำนวนอิเล็กตรอนเฉลี่ย ( $\langle n \rangle$ ) ได้ดังสมการ

$$\langle Q \rangle = \frac{C_i}{C_\Sigma} [\langle n \rangle (-e) + C_g V] \quad (2.10)$$

จากรูปที่ 2.4 เส้นประเป็นผลที่คำนวณได้จากทฤษฎีแบบดั้งเดิม (Classical Theory) [7] ซึ่งถูกนำไปเปรียบเทียบกับผลการทดลองที่แสดงด้วยเส้นทึบ พบว่าที่บริเวณอุณหภูมิสูง เช่น 312 mK ทฤษฎีดังกล่าวสามารถอธิบายผลการทดลองได้เป็นอย่างดี แต่ที่บริเวณอุณหภูมิต่ำ เช่น 20 mK ทฤษฎีแบบดั้งเดิมไม่สามารถอธิบายผลการทดลองได้ถูกต้อง



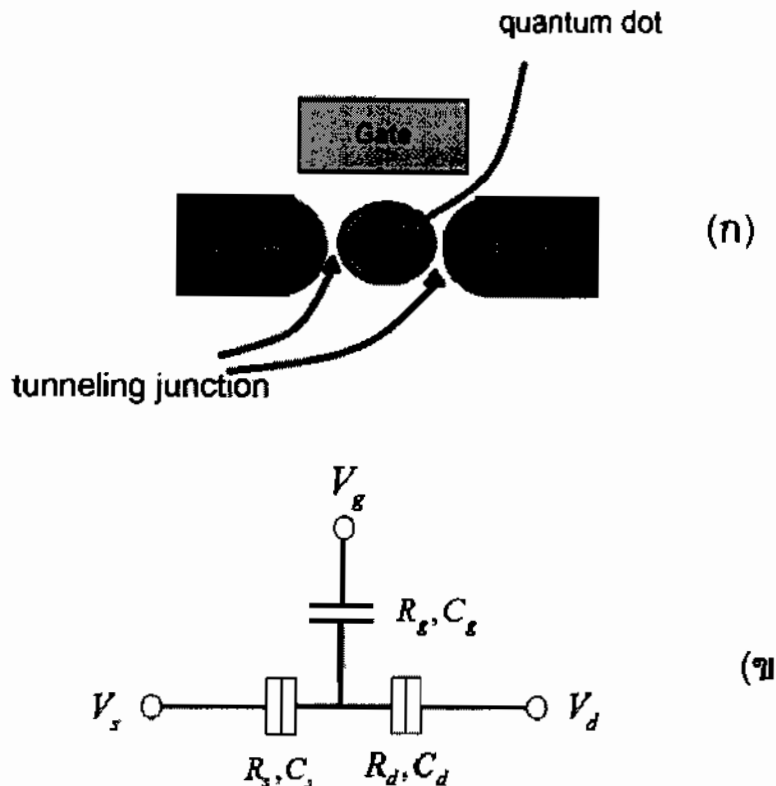
รูปที่ 2.4 ประจุเฉลี่ยในกล่องอิเล็กตรอนเดียว โดยเส้นทึบแสดงผลการทดลองที่อุณหภูมิค่าต่างๆ และเส้นประแสดงค่าที่คำนวณจากทฤษฎีแบบดั้งเดิม [7]

จากที่กล่าวมาข้างต้น แสดงให้เห็นว่าเราสามารถสร้างอุปกรณ์ที่ควบคุมอิเล็กตรอนให้เพิ่มขึ้น หรือลดลงที่ลงทะเบียนได้โดยอาศัยปรากฏการณ์ขัดขวางแบบคูลอมบ์ แต่บริเวณที่อุณหภูมิต่ำๆ กล่าวคือ ค่า  $E_c \gg k_b T$  ทฤษฎีแบบดั้งเดิมยังไม่สามารถอธิบายผลการทดลองได้ถูกต้อง ดังนั้นโครงงานนี้ได้นำเอาการคำนวณโดยวิธีความตั้งมอนติการ์โลมาอธิบายปรากฏการณ์ดังกล่าวซึ่งจะกล่าวถึงในบทที่ 3

### 2.3 ทรานซิสเตอร์แบบอิเล็กตรอนเดียว

จากหัวข้อที่ผ่านมาได้กล่าวถึงกล่องอิเล็กตรอนเดียวซึ่งเป็นอุปกรณ์ที่ประกอบด้วยรอยต่อของ การหล่อผ่านเพียงหนึ่งรอยต่อ แต่หัวข้อนี้กล่าวถึงทรานซิสเตอร์แบบอิเล็กตรอนเดียวซึ่งประกอบไปด้วย รอยต่อของ การหล่อผ่านสองรอยต่อ โดยสามารถเขียนแบบจำลองได้ดังรูปที่ 2.5 (g) ทรานซิสเตอร์แบบ อิเล็กตรอนเดียวประกอบไปด้วยรอยต่อของ การหล่อผ่านสองรอยต่อ กล่าวคือรอยต่อที่อยู่ระหว่างชั้ว ชอร์สกับชั้นตั้งต้นและชั้นต่อที่อยู่ระหว่างชั้นตั้งต้นและชั้นออก โดยรอยต่อตั้งกล่าวมีคุณสมบัติ เป็นพื้นตัวด้านทานและตัวเก็บประจุ ดังแสดงด้วยวงจรสมมูล (Equivalent Circuit) ในรูปที่ 2.5 (h)

ขั้วซอร์สและขั้วเดرنถูกสร้างขึ้นเพื่อให้สามารถเชื่อมต่อกับแรงดันไฟฟ้าภายนอกได้ นอกจากนี้ ศักย์ไฟฟ้าสถิตของความตันดอนที่สามารถปรับเปลี่ยนได้โดยการเปลี่ยนแปลงสนามไฟฟ้าที่ขั้วเกต



รูปที่ 2.5 (g) แบบจำลองของทรานซิสเตอร์แบบอิเล็กตรอนเดี่ยว รูปที่ 2.5 (h) เป็นวงจรล้มมูลของทรานซิสเตอร์แบบอิเล็กตรอนเดี่ยว โดยแต่ละรอยต่อมีคุณสมบัติเป็นทั้งดัวด้านทานไฟฟ้าและดัวเก็บประจุ

ทรานซิสเตอร์แบบอิเล็กตรอนเดี่ยวถูกสร้างขึ้นให้อิเล็กตรอนสามารถทะลุผ่านได้เฉพาะรอยต่อที่อยู่ระหว่างขั้วซอร์สกับความตันดอนดันดอทกับขั้วเดرنเท่านั้น แต่รอยต่อที่อยู่ระหว่างขั้วเกตกับความตันดอนถูกออกแบบให้มีความหนาแน่นมากจนกระทั่งอิเล็กตรอนไม่สามารถทะลุผ่านรอยต่อได้ เพื่ออธิบายปรากฏการณ์ขัดขวางแบบคูลอมบ์ที่เกิดขึ้นในทรานซิสเตอร์แบบอิเล็กตรอนเดี่ยว ให้พิจารณาค่าพลังงานที่ใช้เพิ่มประจำจำนวน  $n$  เข้าไปในทรานซิสเตอร์แบบอิเล็กตรอนเดี่ยวมีค่าเป็น

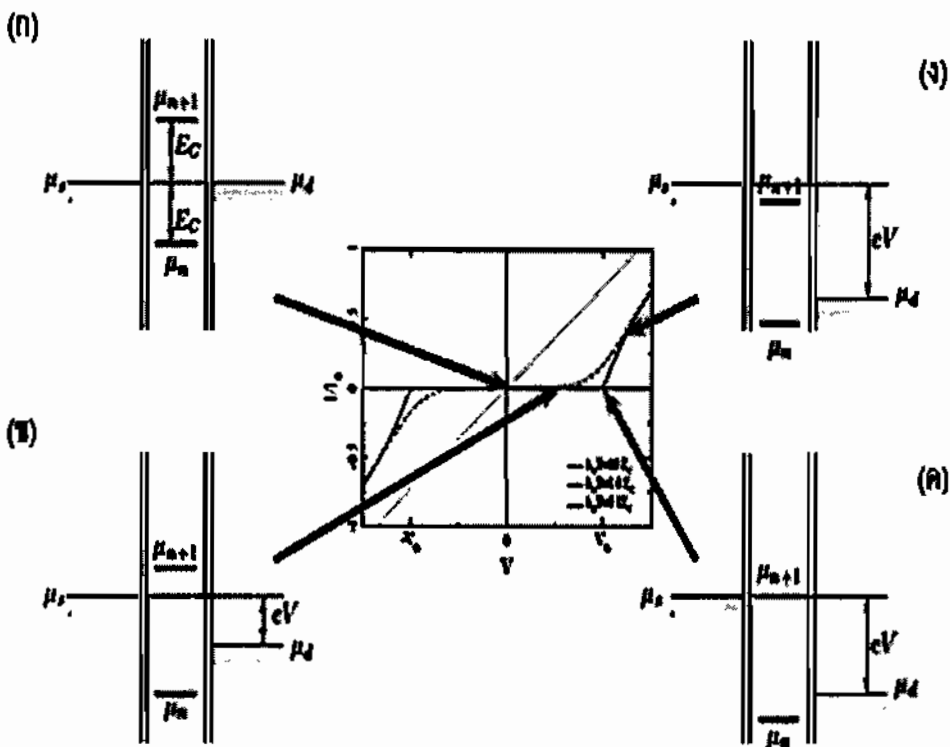
$$E_C(n) = \frac{e^2}{2C_z} (n - n_0)^2 \quad (2.11)$$

โดย  $C_{\Sigma} = C_s + C_g + C_d$  เป็นค่าความจุไฟฟ้ารวมของระบบและ  $n_0 = (C_g V_g + C_d V_d + C_s V_s)/e$  คือจำนวนประจุไฟฟ้าที่เกิดขึ้นจากการเหนี่ยวนำเนื่องจากแรงดันไฟฟ้าจากภายนอก

ศักย์เคมี (Chemical Potential) ของความตั้มดอทหมายถึงพลังงานที่น้อยที่สุดเมื่อมีการเพิ่มจำนวนอิเล็กตรอนลำดับที่  $n$  เข้าไปในความตั้มดอท

$$\mu(n) = E_c(n) - E_c(n-1) = \frac{e^2}{C_{\Sigma}} \left[ \left( n - \frac{1}{2} \right) - \frac{C_s V_s}{e} - \frac{C_d V_d}{e} \right] \quad (2.12)$$

โดยสมการนี้กำหนดให้ระดับพลังงานเฟอร์มี (Fermi Level) ของชั้วชอร์สเป็นระดับพลังงานยังจิ้ง จากสมการที่ (2.12) พบร่วงพลังงานที่ต่อเนื่องของความตั้มดอทชนิดโลหะถูกแยกออกเป็นช่วงขนาด  $e^2 / C$  ด้วยอันตรกิริยาของแรงคูลومบ์ จากสมการ (2.12) สามารถเขียนแผนภาพของແບນพลังงาน (Band Diagram) ของความตั้มดอทชนิดโลหะได้ดังรูปที่ 2.6

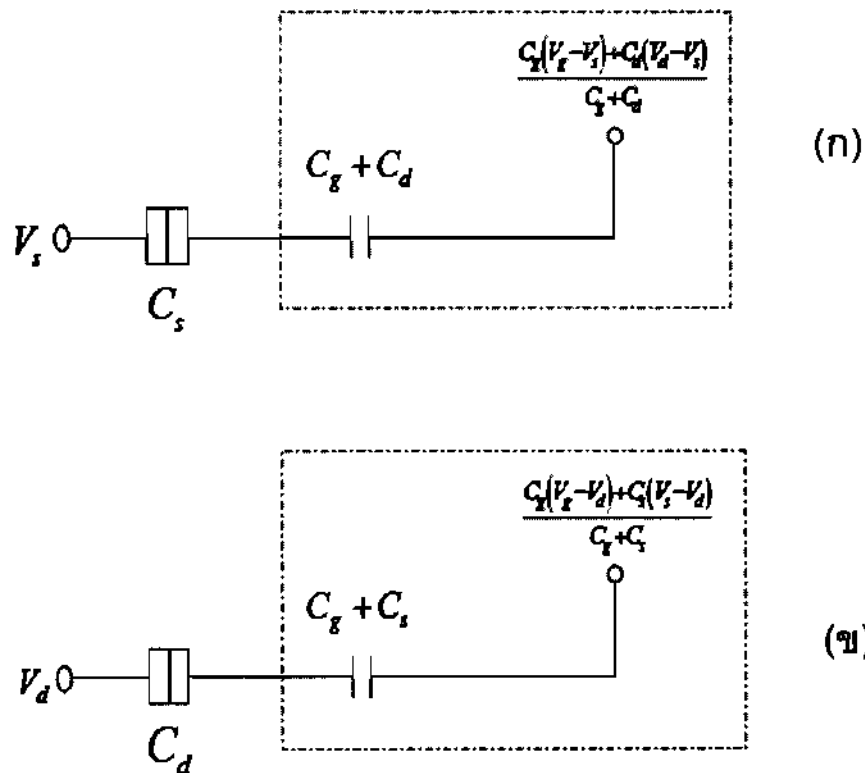


รูปที่ 2.6 (ก) (ข) (ค) และ (ง) ค่าศักย์เคมีของความตั้มดอทที่เปลี่ยนแปลงไปเมื่อการเปลี่ยนแปลงแรงดันไฟฟ้าที่ตอกครัวมอยู่ระหว่างชั้วชอร์สและชั้วเดรน ส่วนตรงกลางภาพแสดงความสัมพันธ์ระหว่างแรงดันไฟฟ้าและกระแสที่สอดคล้องกับแผนภาพของແບນพลังงาน [5]

พิจารณารูปที่ 2.6 (ก) เมื่อไม่มีแรงดันไฟฟ้า ระดับศักย์เคมีของความตั้มดอทมีค่าเท่ากันตลอดทำให้มีการถ่ายเทอิเล็กตรอนจนกว่าอิเล็กตรอนจะได้รับพลังงานเท่ากับพลังงานของการเพิ่มประจุ  $E_C = e^2 / 2C$  รูปที่ 2.6 (ข) เป็นกรณีปรับแรงดันไฟฟ้าเพิ่มขึ้นแต่ยังไม่ถึงแรงดันไฟฟ้าขีดเริ่ม กล่าวคือ พลังงานเฉลี่ยของอิเล็กตรอนที่ชั้วชอร์สมีค่าเพิ่มขึ้นแต่ยังไม่สูงมากพอที่ทำให้อิเล็กตรอนทะลุผ่านไปยังความตั้มดอทได้ จนกระทั่ง เมื่อค่าแรงดันไฟฟ้ามีค่าเท่ากับแรงดันไฟฟ้าขีดเริ่ม พลังงานของอิเล็กตรอนที่อยู่ในชั้วชอร์จะมีค่าเท่ากับระดับศักย์เคมีของความตั้มดอท ดังแสดงในรูปที่ 2.5 (ค) ซึ่ง

ทำให้อิเล็กตรอนสามารถเคลื่อนที่ผ่านไปยังความตั้มดอทได้ เมื่อปรับแรงดันไฟฟ้าให้มีค่าเกิน แรงดันไฟฟ้าขีดเริ่ม ดังแสดงในรูปที่ 2.5 (g) ศักย์เคมีของความตั้มดอทจะอยู่ด้านกว่าศักย์เคมีของขั้ว ชอร์ส ดังนั้นอิเล็กตรอนจะสามารถทะลุผ่านความตั้มดอทไปได้และระดับนี้จะถูกเติบโตในที่สุด แต่ อย่างไรก็ตามเมื่อต้องการเพิ่มอิเล็กตรอนด้วยใหม่เข้าไปในความตั้มดอทจะต้องให้พลังงานท่ากับค่า พลังงานการเพิ่มประจุกล่าวคือระบบจะกลับไปเริ่มต้นที่รูป 2.6 (g) อีกครั้งหนึ่ง แต่อย่างไรก็ตาม ปรากฏการณ์การขัดขวางแบบคูลอมบ์จะถูกทำลายด้วยผลของการกัดแก่งว่างเนื่องจากความร้อน (Thermal Fluctuation) เมื่ออุณหภูมิมีค่ามากขึ้นกล่าวคือ  $k_B T \gg E_c$  ยกตัวอย่างเช่น  $k_B T = 10E_c$  จะไม่สามารถสังเกตเห็นปรากฏการณ์การขัดขวางแบบคูลอมบ์ได้ แต่ที่บริเวณอุณหภูมิ ต่ำๆ เช่น  $k_B T = 0.1E_c$  สามารถสังเกตเห็นปรากฏการณ์ขัดขวางแบบคูลอมบ์ได้ชัดเจน

เพื่อคำนวนหาเงื่อนไขของการเกิดปรากฏการณ์ขัดขวางแบบคูลอมบ์ให้พิจารณาจากวงจร สมมูลของทرانซิสเตอร์แบบอิเล็กตรอนเตี่ยวนิรูปที่ 2.5 (g) และ (h) จากนั้นใช้ทฤษฎีเทเวนินเพื่อ เขียนวงจรสมมูลให้สอดคล้องกับวงจรสมมูลของกล่องอิเล็กตรอน ดังแสดงไว้ในรูปที่ 2.2 (h) โดยวิธีการ นี้สามารถเขียนแผนภาพความเสถียร (Stability Diagram) ของทرانซิสเตอร์แบบอิเล็กตรอนเตี่ยวนได้ซึ่ง แผนภาพดังกล่าวแสดงเงื่อนไขของการเกิดปรากฏการณ์ขัดขวางแบบคูลอมบ์



รูปที่ 2.7 (g) วงจรสมมูลที่ได้จากการใช้ทฤษฎีเทเวนินที่รอยต่อของแรงทางหลุผ่านที่ขั้วชอร์ส และ (h) วงจรสมมูลที่ได้จากการใช้ทฤษฎีเทเวนินที่รอยต่อของแรงทางหลุผ่านที่ขั้วชัวเดรน [8]

แผนภาพเสถียรของทرانซิสเตอร์แบบอิเล็กตรอนเดี่ยวถูกสร้างขึ้นโดยอาศัยทฤษฎีเทเวนินเพื่อ  
ลดรูประบบของทرانซิสเตอร์แบบอิเล็กตรอนเดี่ยวไปสู่ระบบก่อต่องอิเล็กตรอนเดี่ยวเพื่อให้เงื่อนไขใน  
สมการที่ (2.9) จากรูปที่ 2.5 (ข) เมื่อเปิดวงจร (Open Circuit) ตรงบริเวณรอยต่อของการหดลุ่มผ่านชั้ง  
ติดกับชั้วชอร์ส เมื่อมองออกจากความต้นดอทพบว่าค่าความจุไฟฟ้าของชั้วเกตและชั้วเดรนต่อแบบ  
ขนานกันอยู่ และมีค่าแรงดันไฟฟ้าของเทเวนิน เป็นไปตามสมการ

$$V_{th}^s = \frac{C_s(V_g - V_s) + C_d(V_d - V_s)}{C_s + C_d} \quad (2.13)$$

เมื่อนำไปแทนในสมการ (2.9) ทำให้ได้เงื่อนไขของการเพิ่มประจุ  $g$  เป็นดังสมการ

$$\left(n - \frac{1}{2}\right) \frac{e}{C_s + C_d} < \frac{C_s(V_g - V_s) + C_d(V_d - V_s)}{C_s + C_d} < \left(n + \frac{1}{2}\right) \frac{e}{C_s + C_d} \quad (2.14)$$

ในทำนองเดียวกันโดยอาศัยทฤษฎีเทเวนิน รูปที่ 2.5 (ข) เมื่อเปิดวงจรที่บริเวณรอยต่อของการ  
หดลุ่มผ่านชั้งติดกับชั้วเดรน เมื่อมองออกจากความต้นดอทพบว่าค่าความจุไฟฟ้าของชั้วเกตและชั้วชอร์ส  
มีการต่อแบบขนาน และมีค่าแรงดันไฟฟ้าของเทเวนินเป็นไปตามสมการ

$$V_{th}^d = \frac{C_s(V_g - V_d) + C_s(V_s - V_d)}{C_s + C_d} \quad (2.15)$$

เมื่อนำไปแทนในสมการ (2.9) จะได้เงื่อนไขของการเพิ่มประจุ  $g$  เป็นไปตามสมการ

$$\left(n - \frac{1}{2}\right) \frac{e}{C_s + C_d} < \frac{C_s(V_g - V_d) + C_s(V_s - V_d)}{C_s + C_d} < \left(n + \frac{1}{2}\right) \frac{e}{C_s + C_d} \quad (2.16)$$

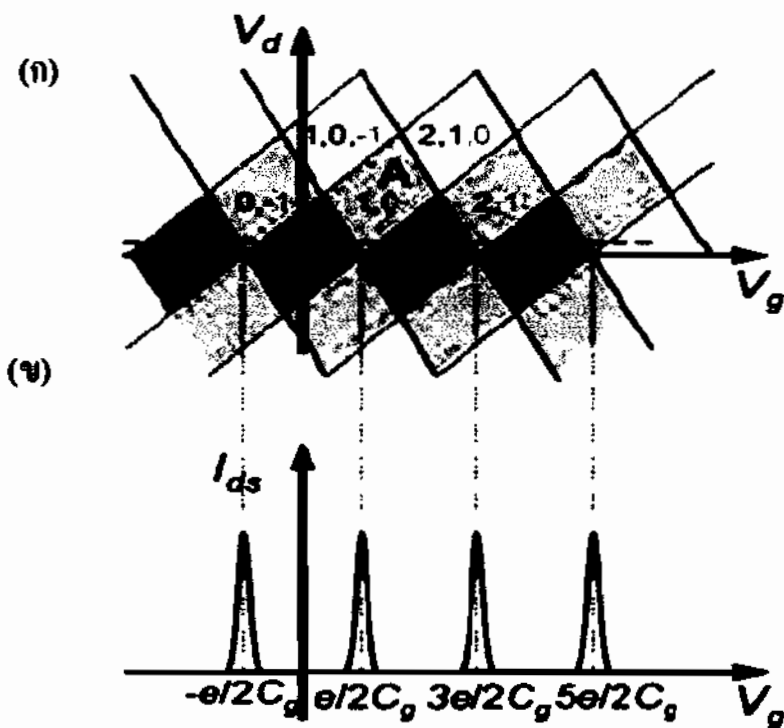
จากสมการที่ (2.13) และ (2.15) ถ้ากำหนดให้  $V_s = 0$  สมการจะถูกลดรูปลงเป็น

$$\frac{1}{C_d} \left( ne - \frac{e}{2} - C_s V_g \right) < V_d < \frac{1}{C_d} \left( ne + \frac{e}{2} - C_s V_g \right) \quad (2.17)$$

และ

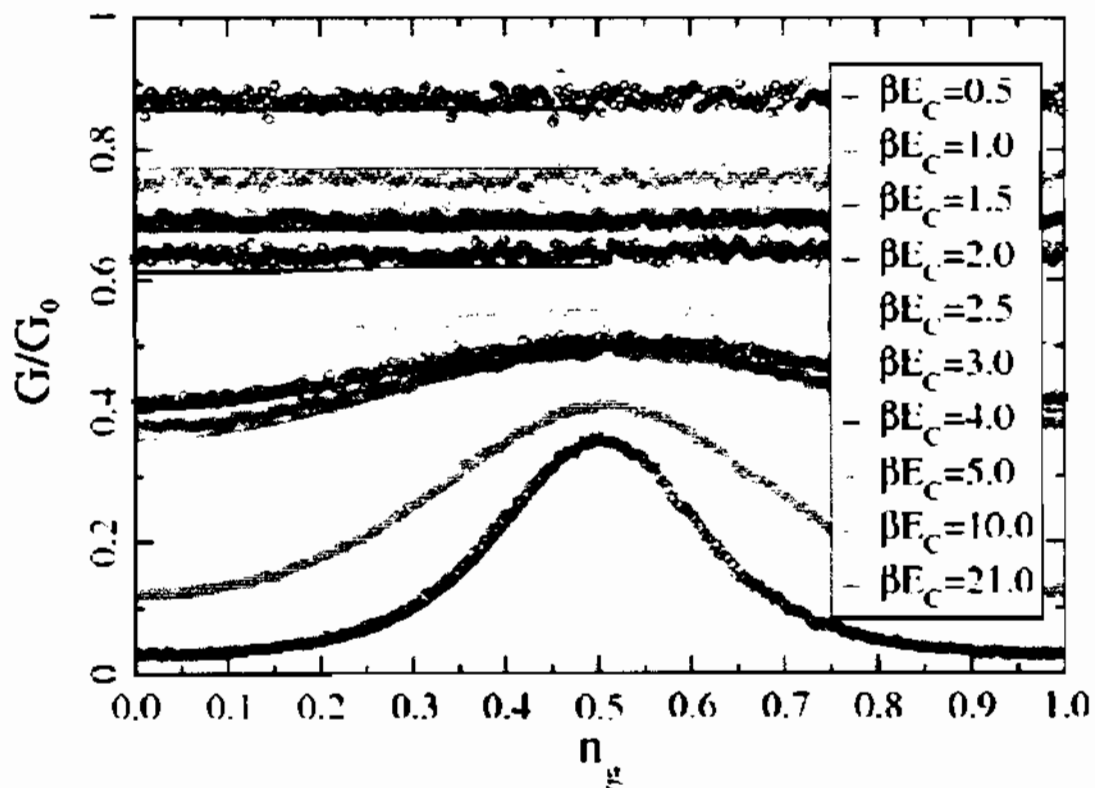
$$\frac{1}{C_s + C_g} \left( -ne - \frac{e}{2} + C_g V_g \right) > V_d > \frac{1}{C_s + C_g} \left( -ne - \frac{e}{2} - C_g V_g \right) \quad (2.18)$$

จากสมการที่ (2.17) และ (2.18) สามารถเขียนความสัมพันธ์ระหว่างแรงดันไฟฟ้าที่ขึ้นเดรน  $V_d$  และแรงดันไฟฟ้าที่ขึ้นเกต  $V_g$  ได้ดังแสดงในรูปที่ 2.8 (ก) โดยเส้นสีแดงมาจากการ (2.17) และเส้นสีน้ำเงินมาจากการ (2.18) พบว่าเส้นทั้งสองตัดกันเป็นรูปสี่เหลี่ยมขนมเปียกปูน ซึ่งบริเวณสีเทาคือบริเวณที่เกิดปรากฏการณ์ขัดขวางแบบคูลอมบ์ (ส่วนบริเวณสีเขียวเป็นกรณีที่ความต่างศักย์ระหว่างชั้นซอร์สและเดรน  $V_d$  มีค่ามากกว่าหรือน้อยกว่าศูนย์ แต่ในโครงงานนี้พิจารณาเฉพาะกรณี  $V_d$  มีค่าประมาณศูนย์เท่านั้น) โดยที่ตัวเลขแทนจำนวนอิเล็กตรอนที่หลุดผ่านทรานซิสเตอร์แบบอิเล็กตรอนเดียว ยกตัวอย่าง เช่น พิจารณาบริเวณที่ (0) เป็นจุดเริ่มต้นที่ยังไม่มีอิเล็กตรอนอยู่ในความตันดอท (บริเวณสีเทาของจุดกำเนิด) เมื่อให้แรงดันไฟฟ้าคงที่  $V_g$  พบว่าจำนวนอิเล็กตรอนที่อยู่ในความตันดอท เป็นศูนย์ จนกระทั่งแรงดันไฟฟ้ามีค่า  $V_g = e / 2C_g$  อิเล็กตรอนในความตันดอทจะเพิ่มขึ้นเป็นหนึ่งตัว และอิเล็กตรอนดังกล่าวสามารถหลุดผ่านไปยังขั้นเดรนได้ทันที ซึ่งทำให้ในความตันดอทไม่มีอิเล็กตรอนค้างอยู่ โดยระยะเวลาที่ใช้ในการหลุดผ่านของอิเล็กตรอนสั้นมากๆ จากปรากฏการณ์นี้พบว่ากระแสไฟฟ้าที่ไหลผ่านทรานซิสเตอร์แบบอิเล็กตรอนเดียวสามารถสังเกตได้จากค่าของ  $I_{ds}$  เทียบกับ  $V_g$  ซึ่งแสดงได้ดังรูปที่ 2.8 (ข) ปรากฏการณ์นี้เรียกว่าปรากฏการณ์ขัดขวางแบบคูลอมบ์นั่นเอง



รูปที่ 2.8 (ก) แผนภาพความสัมพันธ์ของทรานซิสเตอร์แบบอิเล็กตรอนเดียว โดยบริเวณสีเทาคือบริเวณที่เกิดปรากฏการณ์ขัดขวางแบบคูลอมบ์ (ข) ปรากฏการณ์ขัดขวางแบบคูลอมบ์ที่เกิดขึ้นโดยสังเกตได้จากลักษณะเป็นค่าของกระแส  $I_{ds}$  เมื่อ  $V_g$  มีค่าเพิ่มมากขึ้น [8]

ในลำดับต่อไปขอกล่าวถึงผลการทดลองของปรากฏการณ์ขัดขวางแบบคูลอมบ์ ในรูปที่ 2.9 เมื่ออุณหภูมิมีค่าสูงในที่นี้หมายถึงกรณีที่  $\beta E_c < 1$  ยกตัวอย่างเช่น  $\beta E_c = 0.5$  จะไม่สามารถสังเกตเห็นปรากฏการณ์การขัดขวางแบบคูลอมบ์แต่ที่บริเวณอุณหภูมิต่ำในที่นี้หมายถึง  $\beta E_c > 1$  เช่น  $\beta E_c = 21$  พบว่าสามารถสังเกตเห็นปรากฏการณ์ขัดขวางแบบคูลอมบ์ซึ่งสังเกตได้ชัดเจน นอกจากนี้ รูปที่ 2.9 ยังแสดงการเปรียบเทียบผลการทดลองซึ่งแสดงด้วยจุดกับผลการคำนวณโดยวิธีความตั้มตอนติคาโรโล (Quantum Monte Carlo Method) ซึ่งแทนด้วยเส้น พบว่าทุกช่วงของอุณหภูมิวิธีการประมาณผลแบบความตั้มตอนติคาโรโลสามารถอธิบายผลการทดลองได้เป็นอย่างดี



รูปที่ 2.9 ค่าความนำไฟฟ้าของทรานซิสเตอร์แบบอิเล็กตรอนเดียว ที่อุณหภูมิต่ำๆ ปรากฏการณ์ขัดขวางแบบคูลอมบ์สามารถสังเกตเห็นได้ชัดเจน โดยจุดแสดงผลจากการทดลองและเส้นที่บ่งแสดงผลที่ได้จาก การคำนวณโดยความตั้มวิธีมอนติคาโรโล [5]

#### 2.4 จำนวนอิเล็กตรอนเฉลี่ยในทรานซิสเตอร์อิเล็กตรอนเดียว (Average Charge Number on a Single Electron Transistor)

สำหรับทรานซิสเตอร์อิเล็กตรอนเดียวซึ่งประกอบไปด้วยความตั้มดอทหนึ่งความตั้มดอทนั้น สามารถคำนวณจำนวนจำนวนอิเล็กตรอนเฉลี่ย ได้ตามสมการ [9]

$$\langle n \rangle = n_g + \frac{1}{2\beta E_C} \frac{\partial \ln Z}{\partial n_g} \quad (2.19)$$

โดยที่  $\beta = (k_B T)^{-1}$  และ  $Z$  คือพาร์ทิชันฟังก์ชัน (Partition Function) ซึ่งถูกนิยามด้วยสมการ

$$Z = \text{tr} \{ \exp(-\beta H) \} \quad (2.20)$$

จากการวิจัยของ C.Theis [5] ได้คำนวณค่าพาร์ทิชันฟังก์ชันของทรงเรขาคณิตแบบอิเล็กตรอนเดียวเป็นไปตามสมการ

$$Z = \sum_{k \in \mathbb{Z}} \int_{\varphi(0)}^{\varphi(0)+2\pi k} D\varphi e^{-S[\varphi]} \quad (2.21)$$

โดยที่  $\sum_{k \in \mathbb{Z}} \int_{\varphi(0)}^{\varphi(0)+2\pi k} D\varphi \equiv \sum_{k \in \mathbb{Z}} \int_{\varphi(0)}^{\varphi(0)+2\pi k} d\varphi_p \dots \int_{\varphi(0)}^{\varphi(0)+2\pi k} d\varphi_1$  และ  $N$  เป็นค่าคงที่ (Normalized Factor)

เมื่อ  $S[\varphi] = S_C[\varphi] + S_T[\varphi]$  โดยที่ค่าคูลอมบ์ออกซัน (Coulomb Action) แสดงได้ดังสมการ

$$S_C[\varphi] = \int_0^{\beta E_C} d\tau \left[ \frac{\dot{\varphi}^2}{4} + m_g \dot{\varphi}(\tau) \right] \quad (2.22)$$

และค่าແອກซันของการทะลุผ่าน (Tunneling Action) เป็นไปตามสมการ

$$S_T[\varphi] = -g \int_0^{\beta E_C} d\tau \int_0^{\beta E_C} d\tau' \alpha(\tau - \tau') \cos(\varphi(\tau) - \varphi(\tau')) \quad (2.23)$$

เมื่อ  $g = 2\pi G_d / e^2$  โดย  $G_d$  หมายถึงค่าผลรวมของความนำของรอยต่อห้องสองที่ต่ออนุกรมกันและ

$$\alpha(\tau) = \frac{1}{4(\beta E_C)^2 \sin^2 \left( \frac{\pi}{\beta E_C} \tau \right)} \quad (2.24)$$

จากสมการที่ (2.19) พบว่าเมื่อแทนค่าพาร์ทิชันฟังก์ชันลงในสมการที่ (2.21) สมการที่ (2.19) จะได้

$$\langle n \rangle = n_g - \frac{1}{2\beta E_C} \sum_{k \in \mathbb{Z}} \frac{1}{Z} \int_{\varphi(0)}^{\varphi(0)+2\pi k} D\varphi e^{-S[\varphi]} \left[ \int_0^{\beta E_C} d\tau \left( i \dot{\varphi}(\tau) \right) \right] \quad (2.25)$$

เพื่อความสะดวกในการคำนวณด้วยวิธีการค่วนตั้มมอนติคาร์โล ให้เปลี่ยนตัวแปรในการประมวลผลตามสมการ

$$\varphi(\tau) = \zeta(\tau) + v_k \tau \quad \text{เมื่อ} \quad v_k = \frac{2\pi k}{\beta E_C} \quad (2.26)$$

ดังนั้น

$$\langle n \rangle = n_g - \frac{1}{2\beta E_C} \sum_{k \in \mathbb{Z}} \frac{1}{Z} \int_{\zeta(0)}^{\zeta(\beta E_C)} D\zeta e^{-S[\zeta]} \int_0^{\beta E_C} i d\tau \left( \dot{\zeta}(\tau) + v_k \right) \quad (2.27)$$

จากเงื่อนไขขอบเขต  $\int d\tau \dot{\zeta}(\tau) = \zeta(\beta E_C) - \zeta(0) = 0$  ดังนั้นจำนวนอิเล็กตรอนเฉลี่ยในทรงรูปสเตอร์แบบบอเล็กตรอนเดี่ยวสามารถเขียนใหม่ได้ตามสมการ

$$\langle n \rangle = n_g - \frac{i\pi \langle k \rangle}{\beta E_C} \quad (2.28)$$

โดยที่ค่าเฉลี่ยของ  $k$  (Winding Number) นิยามตามสมการ

$$\langle k \rangle = \frac{1}{Z} \sum_{k \in \mathbb{Z}} \int_{\zeta(0)}^{\zeta(\beta E_C)} D\zeta k e^{-S[\zeta]} \quad (2.29)$$

ในบทต่อไปจะแสดงวิธีการคำนวณค่าเฉลี่ยในสมการที่ (2.29) โดยวิธีการค่วนตั้มมอนติคาร์โล

## บทที่ 3

### วิธีการทดลอง

ในหัวข้อที่ 3.1 และ 3.2 ได้กล่าวถึงหลักการเบื้องต้นในการคำนวณค่าปริพันธ์โดยวิธี蒙ติคาโร (Monte Carlo Method) เพื่อนำไปสู่การประยุกต์ใช้วิธีการดังกล่าวในการคำนวณปริมาณทางคุณต้มในหัวข้อที่ 3.3 ส่วนวิธีการคำนวณหาจำนวนอิเล็กตรอนเฉลี่ยในทรงรูบีสเตอร์แบบอิเล็กตรอนเดียวได้กล่าวไว้ในหัวข้อที่ 3.4 ส่วนในหัวข้อที่ 3.5 และ 3.6 ได้กล่าวถึงการประยุกต์ใช้ระเบียบวิธีซิงค์เกิลไซด์อัพเดทและระเบียบวิธีฟูเรียร์อัพเดทเพื่อคำนวณค่าจำนวนอิเล็กตรอนเฉลี่ย ตามลำดับ

#### 3.1 วิธีการ蒙ติคาโร (Monte Carlo Method)

เพื่ออธิบายการประยุกต์ใช้วิธีการคำนวณค่าปริพันธ์โดยวิธี蒙ติคาโร (Quantum Monte Carlo Method) ใน การคำนวณค่าอิเล็กตรอนเฉลี่ยตามสมการที่ (2.28) ให้พิจารณาการหาค่าปริพันธ์ในหลายมิติของ พังก์ชัน  $f(x_1, \dots, x_d)$  โดยใช้วิธีการ蒙ติคาโรกำหนดให้ค่า  $d$  หมายถึงจำนวนตัวแปรของกราฟค่าปริพันธ์ในการคำนวณหาค่า

$$I = \int_0^1 dx_1 \dots \int_0^1 dx_d f(x_1, \dots, x_d) \quad (3.1)$$

โดยที่แต่ละตัวแปรมีช่วงของการหาปริพันธ์เป็น  $(0,1)$  ใน การที่ (3.1) สามารถคำนวณได้โดยใช้วิธีของ นิวตันและโคตส์ (Newton Cotes Formula) [10] โดยวิธีดังกล่าว ค่าปริพันธ์ที่คำนวณได้มีความคลาดเคลื่อนและไม่แน่นหนา แต่เมื่อจำนวนตัวแปรของพังก์ชันมีจำนวนมาก วิธีของนิวตันและโคตส์จะให้ค่าปริพันธ์ที่มีความคลาดเคลื่อนมากตามไปด้วย วิธีของ นิวตันและโคตส์จึงไม่เหมาะสมสำหรับการหาค่าปริพันธ์หลายมิติ แต่ในการคำนวณค่าปริพันธ์โดยวิธี蒙ติคาโร ค่าความคลาดเคลื่อนไม่ขึ้นอยู่กับค่า  $d$  ดังต่อไปนี้ ในการคำนวณหาค่าปริพันธ์หลายมิติ ในสมการที่ (3.1) เพื่อความสะดวกกำหนดให้พังก์ชัน  $f(x_1, \dots, x_d) \equiv f(\vec{X})$  โดยวิธี蒙ติคาโร สามารถคำนวณหาค่าปริพันธ์ในสมการที่ (3.1) ได้ดังสมการนี้

$$I = \int_0^1 d\vec{X} f(\vec{X}) \rho(\vec{X}) = \langle f \rangle_{\rho} \approx \frac{1}{M} \sum_{i=1}^M f(\vec{X}_i) \quad (3.2)$$

โดยที่เครื่องหมาย  $\langle f \rangle_{\rho}$  หมายถึงค่าคาดหมาย (Expectation Value) ของพังก์ชัน  $f(\vec{X})$  และ พังก์ชันการแจกแจงความน่าจะเป็น  $\rho(\vec{X})$  (Probability Distribution Function) ตามสมการที่ (3.2) ต้องมีคุณสมบัติดังต่อไปนี้

1. ความน่าจะเป็นของทุกค่า  $\vec{X}$  ต้องมีค่ามากกว่าหรือเท่ากับศูนย์ กล่าวคือ

$$\rho(\vec{X}) \geq 0 \quad (3.3)$$

2. ผลรวมของความน่าจะเป็นที่ทุกค่า  $\vec{X}$  ต้องมีค่าเท่ากับหนึ่งดังสมการ

$$\int_0^1 d\vec{X} \rho(\vec{X}) = 1 \quad (3.4)$$

จากสมการ (3.2) เครื่องหมาย  $\vec{X}_i \in \rho(\vec{X})$  หมายถึงการเลือกสุ่มค่า  $\vec{X}$  จากพังก์ชันการแจกแจงความน่าจะเป็น  $\rho(\vec{X})$  ในกรณีที่

$$\lim_{M \rightarrow \infty} \frac{1}{M} \sum_{i=1}^M f(\vec{X}_i) = I \quad (3.5)$$

เมื่อ  $M$  เป็นจำนวนของตัวอย่างสุ่ม แต่โดยทั่วไปในการคำนวณจำนวนของการสุ่ม  $M$  มีค่าจำกัด (Finite Number) ดังนั้นการหาค่าปริพันธ์ด้วยวิธีการนี้จึงมีค่าความคลาดเคลื่อนเกิดขึ้นเสมอ ในกรณีนี้สามารถคำนวณค่าความคลาดเคลื่อนจากค่าส่วนเบี่ยงเบนมาตรฐาน (Standards Deviation) ตามทฤษฎีแนวโน้มเข้าสู่ส่วนกลาง (Central Limit Theorem) [11] ค่าความคลาดเคลื่อนในการนี้สามารถคำนวณตามสมการ

$$\sigma = \sqrt{\frac{1}{M} \left( \langle f^2 \rangle_\rho - \langle f \rangle_\rho^2 \right)} \quad (3.6)$$

ดังนั้นสามารถเขียนการหาปริพันธ์ในหลายมิติในสมการ (3.2) ใหม่ได้เป็น

$$\int_0^1 d(\vec{X}) f(\vec{X}) \rho(\vec{X}) = \frac{1}{M} \sum_{\substack{i=1 \\ \vec{X}_i \in \rho(\vec{X})}}^M f(\vec{X}_i) \pm \frac{1}{\sqrt{M}} \left( \langle f^2 \rangle_\rho - \langle f \rangle_\rho^2 \right)^{1/2} \quad (3.7)$$

จากสมการที่ (3.7) พนว่าค่าความคลาดเคลื่อนของการหาปริพันธ์ โดยวิธีมอนติคาร์โลขึ้นอยู่กับจำนวนของตัวแปรสุ่ม  $M$  เท่านั้น ดังนั้นค่าความคลาดเคลื่อนของการหาค่าปริพันธ์ในกรณีนี้จึงไม่ขึ้นกับจำนวนตัวแปรของการหาปริพันธ์ นอกจากนี้วิธีดังกล่าวให้ค่าความคลาดเคลื่อนแปรผันตรงกับค่าส่วนกลับของรากที่สองของจำนวนตัวอย่าง เช่น ตัวต้องการให้ค่าที่คำนวณได้มีความละเอียดเพิ่มขึ้นอีกหนึ่งตำแหน่ง จำนวนของตัวอย่างที่สุ่มต้องเพิ่มขึ้นอีก 100 เท่า ตามสมการ (3.6) และ (3.7) ในลำดับต่อไปจะกล่าวถึงวิธีการเลือกพังก์ชันการแจกแจงความน่าจะเป็น  $\rho(\vec{X})$  ที่เหมาะสม

### 3.2 การสุ่มตัวอย่างแบบ蒙ติคาร์โล (Monte Carlo Sampling)

ในโครงการนี้ ใช้การสุ่มตัวอย่างตามความสำคัญ (Importance Sampling) เพื่อให้การคำนวณสู่เข้าสู่ค่าตอบอุ่งมีประสิทธิภาพ นอกจากนี้ยังใช้ระเบียบวิธีแบบเมโทรโพลิส (Metropolis Algorithm) [11] ในการสร้างตัวอย่างสุ่มเพื่อนำไปคำนวณในสมการที่ (3.2)

#### 3.2.1 การสุ่มตัวอย่างตามความสำคัญ

การสุ่มตัวอย่างตามความสำคัญเป็นวิธีการเลือกฟังก์ชันการแจกแจงความน่าจะเป็นเพื่อที่จะเลือกสุ่มตัวอย่างเฉพาะบริเวณที่มีความสำคัญ โดยทั่วไปฟังก์ชัน  $\rho(\vec{X})$  เป็นฟังก์ชันใดๆ ที่สอดคล้องตามเงื่อนไขในสมการที่ (3.3) และ (3.4) แต่ถ้าใช้วิธีการสุ่มตัวอย่างตามความสำคัญต้องเลือกตามเงื่อนไขดังแสดงต่อไปนี้

$$I = \int d\vec{X} f(\vec{X}) = \int d\vec{X} \frac{f(\vec{X})}{\rho(\vec{X})} \rho(\vec{X}) = \left\langle \frac{f}{\rho} \right\rangle_{\rho} \quad (3.8)$$

จากสมการ (3.8) ค่าฟังก์ชัน  $f(\vec{X})/\rho(\vec{X})$  เป็นฟังก์ชันที่ต้องการหาค่าคาดหมาย ในการนี้สามารถคำนวณหาค่าปริพันธ์โดยวิธีแบบ蒙ติคาร์โล ได้ดังลงมา

$$\left\langle \frac{f}{\rho} \right\rangle_{\rho} = \frac{1}{M} \sum_{i=1}^M \frac{f(\vec{X}_i)}{\rho(\vec{X}_i)} \pm \frac{\sigma_{(f/\rho)_\rho}}{\sqrt{M}} \quad (3.9)$$

โดยที่

$$\sigma_{(f/\rho)_\rho}^2 = \left\langle \left( \frac{f(\vec{X})}{\rho(\vec{X})} \right)^2 \right\rangle_{\rho} - \left\langle \frac{f(\vec{X})}{\rho(\vec{X})} \right\rangle_{\rho}^2 \quad (3.10)$$

จากสมการที่ (3.10) ถ้าเลือกใช้ค่า  $\rho(\vec{X}) = f(\vec{X})/I$  แล้วค่าความคลาดเคลื่อนจะมีค่าเป็นศูนย์ (ไม่มีความคลาดเคลื่อน) แต่เนื่องจาก  $I$  เป็นค่าตอบของกราฟหาค่าปริพันธ์ ดังนั้นจึงเป็นไปได้ที่จะสามารถทำให้ค่าความคลาดเคลื่อนเป็นศูนย์ได้โดยวิธีการเลือกค่า  $\rho(\vec{X})$  แต่อย่างไรก็ตาม สมการที่ (3.10) แสดงให้เห็นถึงหลักการเลือกฟังก์ชันการแจกแจงความน่าจะเป็น กล่าวคือ การเลือกฟังก์ชันการแจกแจงความน่าจะเป็น  $\rho(\vec{X})$  ที่รูปร่างใกล้เคียงกับ  $f(\vec{X})$  ให้มากที่สุด เพื่อทำให้ค่าความคลาดเคลื่อนมีค่าน้อยที่สุดซึ่งจะทำให้ค่าที่คำนวณได้ความน่าเชื่อถือและใกล้เคียงกับค่าจริง โดยเรียกวิธีการสุ่มแบบนี้ว่า วิธีการสุ่มตัวอย่างตามความสำคัญ

### 3.2.2 ระเบียบวิธีของเมโทรโพลิส (Metropolis Algorithm)

ในการสร้างลำดับของตัวอย่างสุ่มเลือก  $\vec{X}$  สำหรับการคำนวณตามสมการที่ (3.2) มีหลายวิธีแต่ในที่นี้ขอกล่าวถึง กรณีการสุ่มแบบเมโทรโพลิส กำหนดค่าตัวอย่างสุ่ม  $\vec{X}_1$  เป็นค่าเริ่มต้นใดๆ ในลำดับต่อไปสามารถหา  $\vec{X}_2$  ตามการสุ่มของเมtropolis ซึ่งค่าความน่าจะเป็นในการเลือก  $\vec{X}_2$  สามารถคำนวณได้จากสมการ

$$A(\vec{X}_1 \rightarrow \vec{X}_2) = \min \left[ 1, \frac{\rho(\vec{X}_2)}{\rho(\vec{X}_1)} \right] \quad (3.11)$$

เมื่อ  $A(\vec{X}_1 \rightarrow \vec{X}_2)$  คือความน่าจะเป็นของการเปลี่ยนสถานะจากค่า  $\vec{X}_1$  ไปยังสถานะ  $\vec{X}_2$  จากสมการ (3.11) สามารถเขียนแยกออกได้เป็น 2 กรณี

1. ถ้า  $\rho(\vec{X}_2) \geq \rho(\vec{X}_1)$ ,  $A(\vec{X}_1 \rightarrow \vec{X}_2) = 1$
2. ถ้า  $\rho(\vec{X}_2) < \rho(\vec{X}_1)$ ,  $A(\vec{X}_1 \rightarrow \vec{X}_2) = \frac{\rho(\vec{X}_2)}{\rho(\vec{X}_1)}$

ในการนี้ที่ 1 ค่า  $\vec{X}_2$  ถูกยอมรับทันที แต่ในกรณีที่ 2 เพื่อที่จะเลือกว่าเกิดการเปลี่ยนสถานะเป็น  $\vec{X}_2$  หรือไม่ จำเป็นต้องเปรียบเทียบอัตราส่วนระหว่าง  $\rho(\vec{X}_2)/\rho(\vec{X}_1)$  กับค่าตัวเลขสุ่ม (Random Number; R) ซึ่งอยู่ ในช่วง  $[0,1]$  ก็ตัวคือถ้า  $A(\vec{X}_1 \rightarrow \vec{X}_2) \geq R$  แล้วเลือกค่า  $\vec{X}_2$  แต่ถ้า  $A(\vec{X}_1 \rightarrow \vec{X}_2) < R$  ให้เลือกค่า  $\vec{X}_1$  จากนั้นให้ทำการสุ่มค่า  $\vec{X}_2$  ขึ้นมาใหม่อีกครั้งเพื่อมาเปรียบเทียบตามสมการที่ (3.11) และทำซ้ำจนกว่าจะได้ค่า  $\vec{X}_M$  ตามที่ต้องการ

### 3.3 วิธีคำนวณอนตัมอนติคาร์โล (Quantum Monte Carlo Method)

ตามทฤษฎีกลศาสตร์ควอนตัมของ Feynman's Quantum Mechanics [12] พาร์ทิชันฟังก์ชัน (Partition Function) ของระบบทางควอนตัมใดๆ สามารถเขียนได้ดังสมการ

$$Z(\beta) = \oint D\phi e^{-S[\phi]} \quad (3.12)$$

โดยสัญลักษณ์  $\oint D\phi$  หมายถึงผลรวมของทุกเส้นทางปิดกั่งๆ คือ  $\phi(0) = \phi(\beta)$  และ  $\beta = (k_B T)^{-1}$  ค่า แอกซัน  $S[\phi(\tau)]$  หมายถึงแอกซันของเส้นทางแบบยุคลิด (Euclidean Action) กล่าวคือ แอกซันที่ เขียนอยู่ในเทอมเวลาจินตภาพ นิยามตามสมการ

$$S[\phi(\tau)] = \int_0^\beta d\tau \left[ \frac{m}{2} \dot{\phi}^2(\tau) - V(\phi(\tau)) \right] \quad (3.13)$$

เมื่อ  $\phi(\tau)$  หมายถึงเส้นทางของอนุภาคในเวลาจินตภาพและ  $\dot{\phi}(\tau) = d\phi(\tau)/d\tau$  นอกจากนี้ค่า คาดหมายของตัวดำเนินการใดๆ สามารถคำนวณได้ตามสมการ

$$\langle \hat{O} \rangle = \oint D[\phi] \hat{O}[\phi(\tau)] \rho[\phi(\tau)] \quad (3.14)$$

เมื่อตัวดำเนินการ  $\hat{O}$  ถูกเขียนให้อยู่ในเทอมของเส้นทางของอนุภาคและ  $\rho(\phi)$  ถูกนิยามตามสมการ

$$\rho[\phi(\tau)] = \frac{1}{Z} e^{-S[\phi(\tau)]} \quad (3.15)$$

โดย  $\rho[\phi(\tau)]$  ถูกตีความเป็นพังก์ชันการแจกแจงความน่าจะเป็นของระบบทางความตื้น

### 3.3.1 การสุ่มตัวอย่างของเส้นทางจินตภาพ (Imaginary Path Sampling)

เส้นทางในเวลาจินตภาพได้ สามารถแบ่งออกเป็นช่วงได้ตามรูปที่ 3.1



รูปที่ 3.1 ตัวอย่างการแบ่งเส้นทางจินตภาพออกเป็น 10 ช่วงเท่าๆ กัน [13]

รูปที่ 3.1 แสดงตัวอย่างของเส้นทางที่ถูกแบ่งออกเป็น 10 ช่วงเท่าๆ กันกล่าวคือ  $N = 10$  จากรูปพบว่าเส้นทางที่ต่อเนื่อง (Continuous Path) สามารถประมาณด้วยจุดจำนวนมากคล้ายกับการร้อยลูกปัด ดังนั้นในการคำนวณสมการ (3.14) สามารถคำนวณได้ตามวิธีการในหัวข้อ 3.2 กล่าวคือ

$$\langle \hat{O} \rangle \approx \frac{1}{M} \sum_{\substack{j=1 \\ \phi_j \in \rho[\phi]}}^M \hat{O}[\phi_j] \quad (3.16)$$

เมื่อ  $M$  หมายถึงจำนวนของตัวอย่างสุ่มที่ถูกเลือกจากฟังก์ชันการแจกแจงความน่าจะเป็น  $\rho[\phi]$  ของค่าความน่าจะเป็นของการยอมรับ (Acceptance Probability) ซึ่งค่านี้สามารถเขียนได้ตามสมการ

$$A(\phi_m \rightarrow \phi_{new}) = \frac{\rho[\phi_{new}]}{\rho[\phi_m]} = \frac{e^{-S[\phi_{new}]}}{e^{-S[\phi_m]}} = e^{-\Delta S} \quad (3.17)$$

เมื่อ  $\phi_m$  และ  $\phi_{new}$  เป็นเส้นทางเริ่มต้นและเส้นทางใหม่ตามลำดับ จากสมการที่ (3.17) พบร่วมในการคำนวณค่าความน่าจะเป็นในการเลือกด้วยไม่จำเป็นต้องทราบค่าพาร์ทิชันฟังก์ชัน  $Z$  ซึ่งไม่สามารถคำนวณได้แต่โดยวิธีของเมโทรไปร์ลิสต้องการทราบเพียงผลต่างระหว่างค่าแยกชั้นตอนของวิธีเมโทรไปร์ลิสสามารถเขียนใหม่ได้เป็น

$$A(\phi_m \rightarrow \phi_{new}) = \min[1, e^{-\Delta S}] \quad (3.18)$$

จากสมการที่ (3.18) สามารถสร้างเส้นทางใหม่ได้ดังนี้

1. เริ่มจากเส้นทางของอนุภาคใดๆ  $\phi[\tau]$  จากนั้นเปลี่ยนเส้นทางดังกล่าวไปเล็กน้อยและเรียกว่าเส้นทางดังกล่าวว่าเส้นทางเดินใหม่
2. คำนวณค่า  $\Delta S = S[\phi_{new}] - S[\phi_m]$
3. ถ้า  $\Delta S \leq 0$  เส้นทางใหม่ถูกยอมรับทันที
4. ถ้า  $\Delta S > 0$  ให้สร้างตัวเลขสุ่มที่อยู่ในช่วง 0 ถึง 1,  $R \in [0,1]$  ขึ้นมาหนึ่งค่า

แล้วนำไปเปรียบเทียบกับค่า  $e^{-\Delta S}$  ถ้า  $R > e^{-\Delta S}$  แล้วให้ยอมรับเส้นทางใหม่นั้น แต่ถ้า  $R \leq e^{-\Delta S}$  แล้วให้เลือกใช้เส้นทางเดิม  $\phi_m$

5. ให้กลับทำขั้นตอนข้อ 1 ถึง 4 จนกว่าจะได้ตัวอย่างทั้งหมด  $\{\phi_1, \phi_2, \dots, \phi_M\}$  ตามจำนวนที่ต้องการ

### 3.3.2 ระเบียบวิธีฟูเรียร์มอนติคาร์โล (Fourier Monte Carlo Algorithm) [6,13]

จากหัวข้อที่ผ่านมาด้วยของการสุ่มสามารถสร้างใหม่ได้โดยการเปลี่ยนแปลงด้วยอย่างเดิมไปเล็กน้อยแล้วตรวจสอบโดยใช้วิธีของเมโนร์โน่ปรัลิส ว่าจะยอมรับด้วยอย่างใหม่หรือไม่เนื่องจากเส้นทางเปลี่ยนแปลงไปเล็กน้อย ดังนั้นในการสุ่มด้วยอย่างเพื่อที่ให้ควบคุมเกือบทุกสถานะที่เป็นไปได้ จึงใช้เวลาในการประมวลผลมาก

ในหัวข้อนี้ได้กล่าวถึงวิธีการสุ่มด้วยการซุ่มด้วยการซุ่มด้วยอย่างของสัมประสิทธิ์ฟูเรียร์ โดยเริ่มจากการแปลงแยกชั้นที่อยู่ในรูปเวลาจินตภาพ (Imaginary Time) ให้อยู่ในรูปของสัมประสิทธิ์ฟูเรียร์ ยกด้วยอย่างเช่น  $\phi(\tau)$  ได้ จากนั้นเขียนให้อยู่ในรูปสมการ

$$\phi(\tau) = \phi_0 + (\phi_f - \phi_0) \frac{\tau}{\beta} + \sum_{k=1}^{\infty} a_k \sin\left(\frac{k\pi\tau}{\beta}\right) \quad (3.19)$$

โดยที่  $\phi(\tau=0) = \phi_0$  จุดสิ้นสุด  $\phi(\tau=\beta) = \phi_f$  และ  $a_k$  หมายถึง สัมประสิทธิ์ฟูเรียร์ (Fourier Coefficient) ลำดับที่  $k$  ดังนั้น  $S(\tau)$  สามารถเขียนให้อยู่ในพจน์ของสัมประสิทธิ์ฟูเรียร์  $\{a_k\}$  Fourier Coefficient [4] ได้ เมื่อ  $N$  มีค่าจำกัด สมการที่ (3.19) สามารถประมาณได้เป็น

$$\phi_f \approx \sum_{k=1}^N a_k \sin\left(\frac{k\pi j}{N}\right) \quad (3.20)$$

เมื่อ

$$a_k = \sum_{j=1}^N \phi_f \sin\left(\frac{k\pi j}{N}\right) \quad (3.21)$$

สมการ (3.20) และ (3.21) ได้มาจากการแบ่งช่วง  $(0, \beta)$  เป็นจำนวน  $N$  ช่วง ซึ่งมีความกว้างเท่ากัน  $\Delta\tau$  และใช้สัญลักษณ์  $\phi(\tau_j) = \phi_f$ , เมื่อ  $\tau_j = j\Delta\tau$  ในกรณีนี้กำหนดให้  $\phi(0) = \phi(\beta) = 0$  พจน์ที่หนึ่งและพจน์ที่สองของสมการ (3.19) จึงมีค่าเป็นศูนย์ สมการที่ (3.19) จึงลดรูปเป็นสมการแบบการแปลงแบบไชน์ (Sine Transform) ในกรณีที่แยกชั้นของระบบได้ๆ ถูกเขียนให้อยู่ในรูปสัมประสิทธิ์ของฟูเรียร์แล้ว กล่าวคือ  $S[\phi_f] \rightarrow S[a_k]$  สามารถใช้การสุ่มแบบเมโนร์โน่ปรัลิสในการสุ่มด้วยอย่างจากเขตของสัมประสิทธิ์ฟูเรียร์  $\{a_k\}$  แทนการสุ่มด้วยอย่างจาก  $\{\phi_f\}$  ที่กล่าวไว้ในหัวข้อที่ผ่านมา

### 3.4 การคำนวณค่าเฉลี่ยของประจุโดยใช้วิธีการอนติคาโรโล (Calculation of Average Charge Number by Monte Carlo Method)

ในหัวข้อนี้ได้กล่าวถึงการคำนวณค่าเฉลี่ยของประจุในทรงรูบันด์ที่มีเส้นผ่านศูนย์กลาง  $E_c$  โดยใช้วิธีการอนติคาโรโล เพื่อความสะดวกในการประมาณผลลัพธ์งานทั้งหมดถูกเขียนให้อยู่ในหน่วยของ  $E_c$  และของค่าแยกชั้นถูกเขียนให้อยู่ในรูปแบบไม่ต่อเนื่องค่าด้วย progression สุ่มถูกเขียนใหม่ดังสมการ

$$\phi(\tau) = \xi(\tau) + v_k \tau \quad (3.22)$$

เมื่อ

$$v_k = \frac{2\pi k}{\beta E_c} \quad (3.23)$$

ดังนั้นค่าแยกชั้นของทรงรูบันด์แบบบอเล็กตรอนเดี่ยวเป็นไปตามสมการ

$$S_c[\xi, k] = \int_0^{\beta E_c} d\tau \left[ \frac{1}{4} \left( \dot{\xi}^2(\tau) + v_k^2 \right) + i n_g v_k \right] \quad (3.24)$$

และแยกชั้นของการหลุดผ่านสามารถเขียนใหม่ได้เป็น

$$S_t[\xi] = -g \int_0^{\beta E_c} d\tau \int_0^{\beta E_c} d\tau' \alpha(\tau - \tau') \cos(\phi(\tau) - \phi(\tau') + v_k(\tau - \tau')) \quad (3.25)$$

เมื่อ

$$\alpha(\tau) = \frac{1}{4(\beta E_c)^2 \sin^2\left(\frac{\pi}{\beta E_c} \tau\right)} \quad (3.26)$$

จากสมการ (2.29) ค่าคาดหมายของจำนวนไว้น์ดิงเฉลี่ยของจำนวนรอบของการปริพันธ์ (Winding Number) สามารถเขียนใหม่ได้เป็น

$$\langle k \rangle = \frac{\langle e^{-2\pi i n_g k} k \rangle_0}{\langle e^{-2\pi i n_g k} \rangle_0} \quad (3.27)$$

เมื่อ

$$\langle k \rangle_0 = \sum_{k \in Z} \frac{1}{Z} \int_{\zeta(0)}^{\zeta(\beta E_c)} D\zeta k e^{-S_0[\zeta, k]} \quad (3.28)$$

โดย  $S_0[\zeta, k]$  เป็นค่าแยกชั้นที่เลือกเฉพาะค่าที่เป็นบวกเท่านั้นเพื่อใช้เป็นพังก์ชันแจกแจงความน่าจะเป็นของระบบก่อร่องคือ

$$S_0[\zeta, k] = \int_0^{\beta E_c} d\tau \frac{1}{4} \left( \dot{\zeta}^2(\tau) + v_k^2 \right) - g \int_0^{\beta E_c} d\tau \int_0^{\beta E_c} d\tau' \alpha(\tau - \tau') \cos(\varphi(\tau) - \varphi(\tau') + v_k(\tau - \tau')) \quad (3.29)$$

ในลำดับต่อไปสมการที่เกี่ยวข้องกับการคำนวณด้วยวิธีอนติคาโรลส์ต้องถูกเขียนให้อยู่ในรูปของพังก์ชันที่ไม่ต่อเนื่อง โดยการแบ่งช่วง  $[0, \beta E_c]$  เป็น  $N$  ช่วง มีความกว้าง  $\Delta\tau$  เมื่อ  $\tau_j = j\Delta\tau$  และกำหนดให้สัญลักษณ์  $\zeta_j \equiv \zeta(\tau_j)$  ดังนั้นสมการของแยกชั้น  $S_0$  สามารถเขียนใหม่ได้เป็น

$$S_0[\zeta, k] \approx N \sum_{j=1}^N \frac{N(\zeta_j - \zeta_{j-1})^2}{4\beta E_c} + \frac{\pi^2 k^2}{\beta E_c} - g \sum_{j, j'=1}^N \alpha_{j-j'} \cos\left(\zeta_j - \zeta_{j'} + \frac{2\pi k}{P}(j - j')\right) \quad (3.30)$$

เมื่อ

$$\alpha_j = \frac{1}{4P^2 \sin^2\left(\frac{\pi}{P}j\right)} \quad (3.31)$$

พิจารณากรณีที่  $j = j'$  ซึ่งทำให้ค่าแยกชั้นในสมการ (3.30) มีค่าไม่จำกัด ทำให้เกิดปัญหาในการประมาณผลดังนั้นกรณีนี้จึงถูกหาค่าก่อนทำการประมาณผลโดยกำหนดให้

$$\xi(\tau) = \frac{1}{2} \left( \zeta(\tau) - \zeta(\tau_j) + \frac{2\pi k}{\beta E_c} (\tau - \tau_j) \right) \quad \text{เมื่อ} \quad \lim_{\tau \rightarrow \tau_j} \xi(\tau) \quad (3.32)$$

ในกรณีที่  $\tau \rightarrow \tau_j$  สามารถคำนวณได้โดยใช้เอกลักษณ์ trigonometric identity  $\cos(x) = 1 - 2\sin^2(x/2)$  ที่เมื่อนำมาใช้  $j - j' \approx 0$  พบว่า

$$\alpha_0 \sin^2 \left[ \frac{\zeta_j - \zeta_j + \frac{2\pi k}{P} 0}{2} \right] = \lim_{\tau \rightarrow \tau_j} \frac{1}{2P^2} \frac{\sin^2[\xi(\tau)]}{\sin^2\left[\frac{\pi}{\beta E_c}(\tau - \tau_j)\right]} = \frac{(\beta E_c)^2}{2\pi^2 P^2} \xi^2$$



$$= \frac{1}{8\pi^2} [\zeta_j - \zeta_{j-1}]^2 + \frac{k}{2\pi P} [\zeta_j - \zeta_{j-1}] + \frac{1}{2P^2} k^2 \quad (3.33)$$

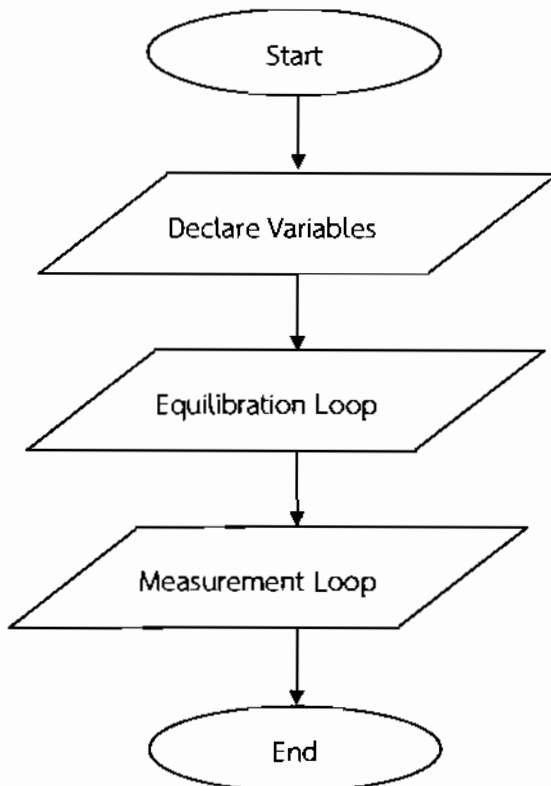
เมื่อแทนสมการที่ (3.33) ลงในสมการ (3.30) สามารถเขียนค่าแรกซึ่งใหม่ได้เป็น

$$S_0[\zeta, k] = c_\zeta \sum_{j=1}^P [\zeta_j - \zeta_{j-1}]^2 + c_k k^2 - 2g \sum_{j < j'} \alpha_{j-j'} \cos\left(\zeta_j - \zeta_{j-1} + \frac{2\pi k}{P}(j - j')\right) \quad (3.34)$$

เมื่อค่าสัมประสิทธิ์

$$c_\zeta = \frac{P}{4\beta E_C} + \frac{g}{8\pi^2}, \quad c_k = \frac{\pi^2}{\beta E_C} + \frac{g}{2P} \quad \text{และ} \quad \alpha_j = \frac{1}{4P^2 \sin^2(\frac{\pi}{P} j)} \quad (3.35)$$

ดังนั้นในกรณี  $j = j'$  สามารถจัดกัดผลของการสู่ออก (Divergent) โดยใช้วิธีการดังที่กล่าวมาข้างต้น ในการคำนวณโดยวิธีความตั้มมอนติคาโรโลทั้งแบบชิงค์เกิลไซต์อัพเดทและแบบการแปลงฟูเรียร์อัพเดทมีขั้นตอนในการคำนวณแสดงในรูปที่ 3.2



รูปที่ 3.2 แผนผังการทำงานของโปรแกรมที่ใช้ในการคำนวณค่าเฉลี่ยของประจุโดยวิธีการมอนติคาโร

แต่อย่างไรก็ตามความแตกต่างของทั้งสองวิธีอยู่ที่ตัวแปรที่ใช้ในการสุมตัวอย่างดังจะกล่าวในหัวข้อต่อไป

### 3.5 ระเบียบวิธีซิงค์เกลิไซด์อัพเดท (Single Site Update Algorithm)

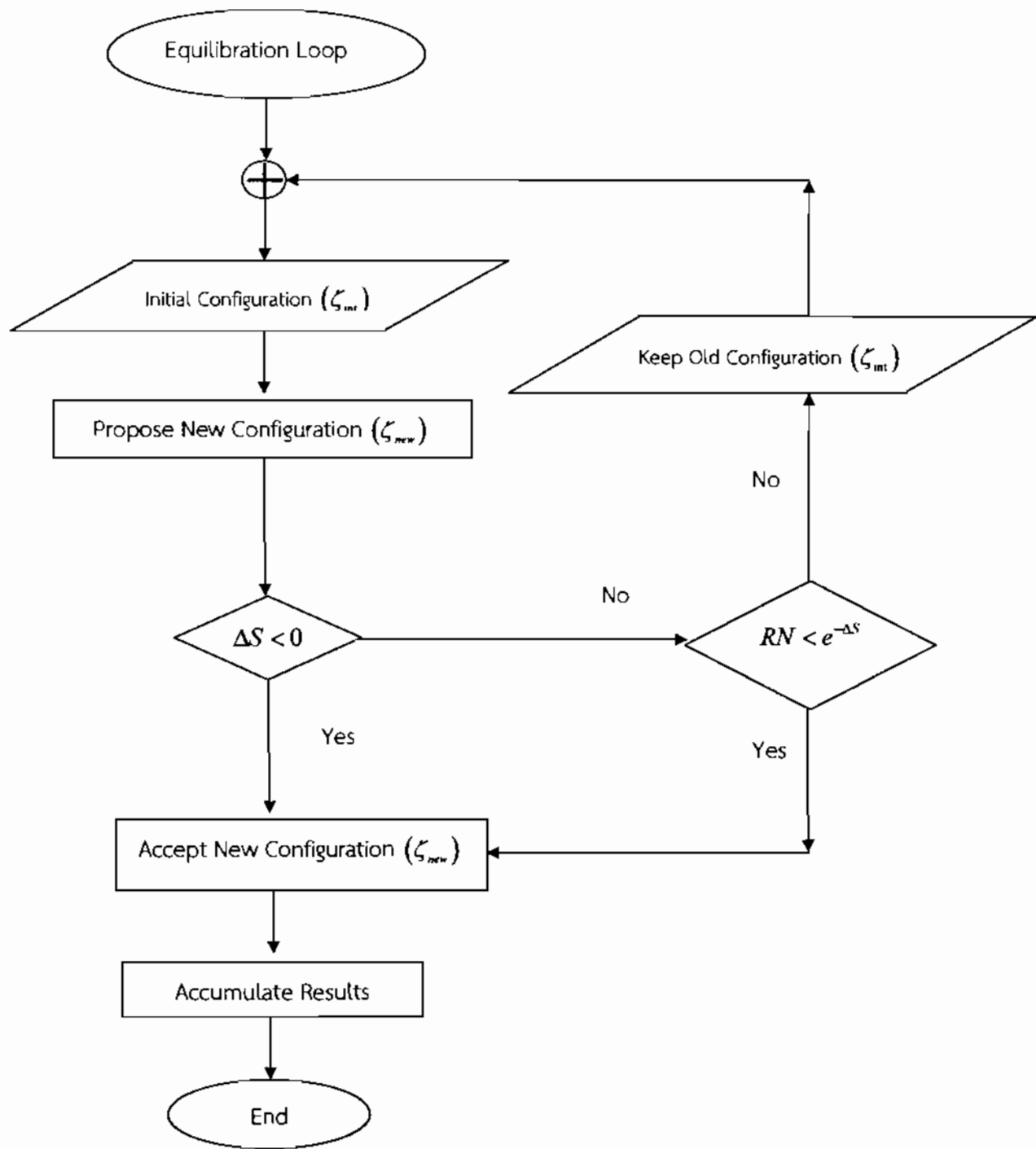
ในการประยุกต์ใช้ระเบียบวิธีซิงค์เกลิไซด์อัพเดทในการคำนวณค่าเฉลี่ยของประจุ เริ่มจากการเขียนแยกชั้นของทราบชิสเทอร์วิลเล็กตรอนเดี่ยวให้อยู่ในรูปแบบไม่ต่อเนื่อง โดยแบ่งช่วงเวลาจินตภาพออกเป็น  $N$  ส่วน กล่าวคือ  $\Delta\tau = \beta E_C / N$  โดยใช้  $\zeta_j = \zeta(\tau_j)$  กับ  $\tau_j = j\Delta\tau$  จากนั้นประมาณการหาค่าปริพันธ์โดยใช้ผลบวกของรีมันน์ (Riemann's Sums) ค่าแยกชั้นนี้ถูกเขียนให้มีดังนี้

$$S_0[\zeta, k] = c_\zeta \sum_{j=1}^N [\zeta_j - \zeta_{j-1}]^2 + c_k k^2 - 2g \sum_{j < j'} \alpha_{j-j'} \cos\left(\zeta_j - \zeta_{j-1} + \frac{2\pi k}{N}(j - j')\right) \quad (3.36)$$

และค่าจำนวนประจุเฉลี่ยสามารถคำนวณได้ดังสมการ

$$\langle n \rangle = n_g - \frac{\pi}{\beta E_C} \frac{\sum_{k,\zeta} \sin(2\pi k n_g)}{\sum_{k,\zeta} \cos(2\pi k n_g)} \quad (3.37)$$

เมื่อ  $\sum_{k,\zeta}$  หมายถึงการสุมทั้งตัวแปรเฟส ( $\zeta$ ) และตัวแปรของค่าไวน์ดิง ( $k$ ) ส่วนเทอม  $i \cos(2\pi k n_g)$  และเทอม  $i \sin(2\pi k n_g)$  มีค่าเป็นศูนย์ตามคุณสมบัติของการปริพันธ์ของฟังก์ชันคี่ (odd function) ในโปรแกรมนี้ใช้  $g = 4.75$  ตามผลการทดลองในเอกสารอ้างอิงฉบับที่ [4] ในการคำนวณด้วยระบบวิธีซิงค์เกลิไซด์อัพเดท สามารถแสดงด้วยแผนภูมิรูปภาพดังต่อไปนี้



รูปที่ 3.3 แผนภูมิของขั้นตอนของการคำนวณหาจำนวนอิเล็กตรอนเฉลี่ยในการณีของซิงค์เกลใช้ตัวพัฒนา

### 3.6 การสุ่มตัวอย่างแบบฟูเรียร์อัพเดพ

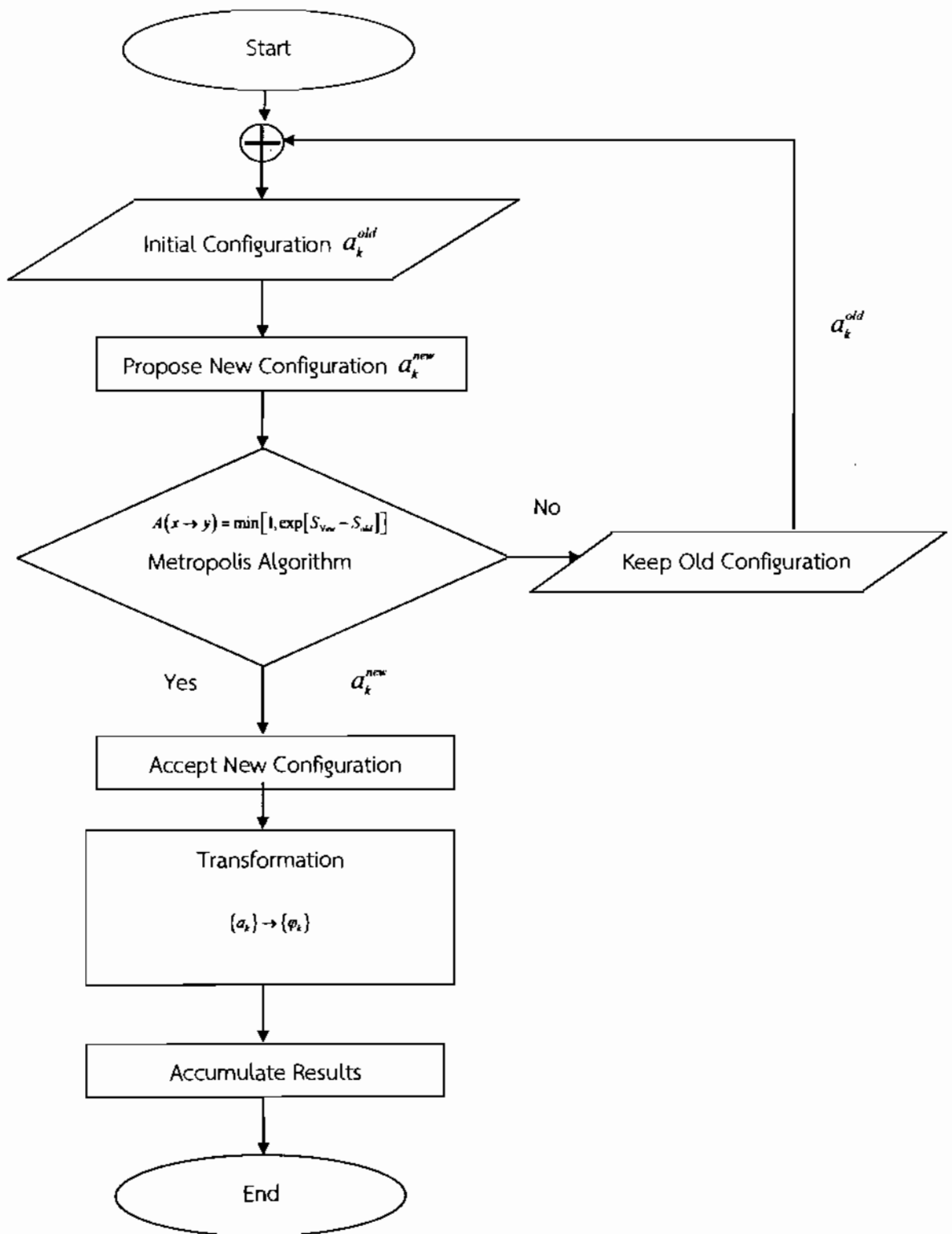
ในการประยุกต์ใช้การสุ่มตัวอย่างแบบฟูเรียร์อัพเดพ ขั้นแรกต้องทำการแปลงค่าแอกซันที่อยู่ในรูปของตัวแปรเฟสตาม สมการที่ (3.32) ให้อยู่ในรูปสัมประสิทธิ์ของฟูเรียร์ก่อน โดยใช้การแปลงตามสมการ

$$a_k = \sum_{j=1}^N \phi_j \sin(k\pi j/N) \quad (3.38)$$

ยกตัวอย่างเช่นคูลอมบ์แอกซันในเทอมที่หนึ่งสมการที่ (3.30) สามารถเขียนให้อยู่ในรูปของสัมประสิทธิ์ฟูเรียร์ได้เป็น

$$S_C^{1s} = 2C_s N \sum_{k=1}^N a_k^2 \sin^2\left(\frac{\pi k}{2N}\right) \quad (3.39)$$

เมื่อ  $C_s = N/4\beta E_c$  จากสมการที่ (3.39) ในการสุ่มตัวอย่างด้วยระเบียบวิธีของเมโทรไปลิส ในกรณีนี้ สามารถทำการสุ่มตัวอย่างโดยใช้ค่าของสัมประสิทธิ์ของฟูเรียร์  $\{a_k\}$  แทนที่การสุ่มตัวอย่างด้วยตัวแปรเฟส  $\{\phi_j\}$  ได้ แต่เนื่องจากในโครงงานนี้ไม่สามารถเขียนค่าแอกซันของการหดกลุ่มกันให้อยู่ในพจน์ของสัมประสิทธิ์ของฟูเรียร์ได้ ดังนั้นในการคำนวณค่าแอกซันของการหดกลุ่มกันยังคงใช้การคำนวณจากค่าตัวแปรเฟสเหมือนเช่นในกรณีของวิธีการซิงค์เกิลค์อัพเดพ แต่ในกรณีนี้การสุ่มตัวอย่างได้ทำการสุ่มตัวอย่างจากสัมประสิทธิ์ของฟูเรียร์ สามารถแสดงได้ดังแผนภาพที่ 3.4 และผลการคำนวณทั้งหมดได้แสดงไว้ในบทที่ 4



รูปที่ 3.4 แผนภูมิของขั้นตอนของการคำนวณหาจำนวนอิเล็กตรอนเฉลี่ยในการณ์ของฟูเรียร์อัพเดท

## บทที่ 4

### ผลการทดลองและอภิปรายผล

ในบทนี้ได้กล่าวถึงการคำนวณจำนวนอิเล็กตรอนเฉลี่ยและประจุสุทธิเฉลี่ยในทราบชีสเตอร์แบบอิเล็กตรอนเดียวที่อุณหภูมิต่างๆ พร้อมทั้งเปรียบเทียบผลที่ได้จากทฤษฎีแบบดั้งเดิมกับวิธีความต้มนองติดาร์โล นอกจานนี้ยังได้เปรียบเทียบผลการคำนวณจำนวนอิเล็กตรอนเฉลี่ยที่จากระเบียนบริซิงค์เกิลไซด์อพเพกับระเบียนบริซิงฟูเรียร์อพเพของห้องสองวิธีเพื่อนำไปสู่ผลการสรุปว่าวิธีการใดมีประสิทธิภาพสูงสุด

#### 4.1 จำนวนอิเล็กตรอนเฉลี่ยในทราบชีสเตอร์แบบอิเล็กตรอนเดียว

เพื่อตรวจสอบผลกับการคำนวณจำนวนอิเล็กตรอนเฉลี่ยในทราบชีสเตอร์แบบอิเล็กตรอนเดียวที่ได้จากวิธีความต้มนองติดาร์โล ให้พิจารณาการคำนวณจำนวนอิเล็กตรอนเฉลี่ยในทราบชีสเตอร์แบบอิเล็กตรอนเดียวโดยทฤษฎีแบบดั้งเดิมซึ่งกล่าวว่า ค่าเฉลี่ยของปริมาณใดๆ สามารถคำนวณได้ดังสมการต่อไปนี้

$$\langle x \rangle = \frac{\sum_{i=0}^{\infty} x_i e^{-\beta E_i}}{\sum_{i=0}^{\infty} e^{-\beta E_i}} \quad (4.1)$$

โดยท่อนภาคในระบบทฤษฎีแบบดั้งเดิมนี้พุติกรรมเป็นไปตามการแจกแจงของแมกเวลล์โบลท์มันน์ (Maxwell-Boltzmann Distribution) กล่าวคือ

$$\sum_{i=0}^{\infty} e^{-\beta E_i} = 1 \quad (4.2)$$

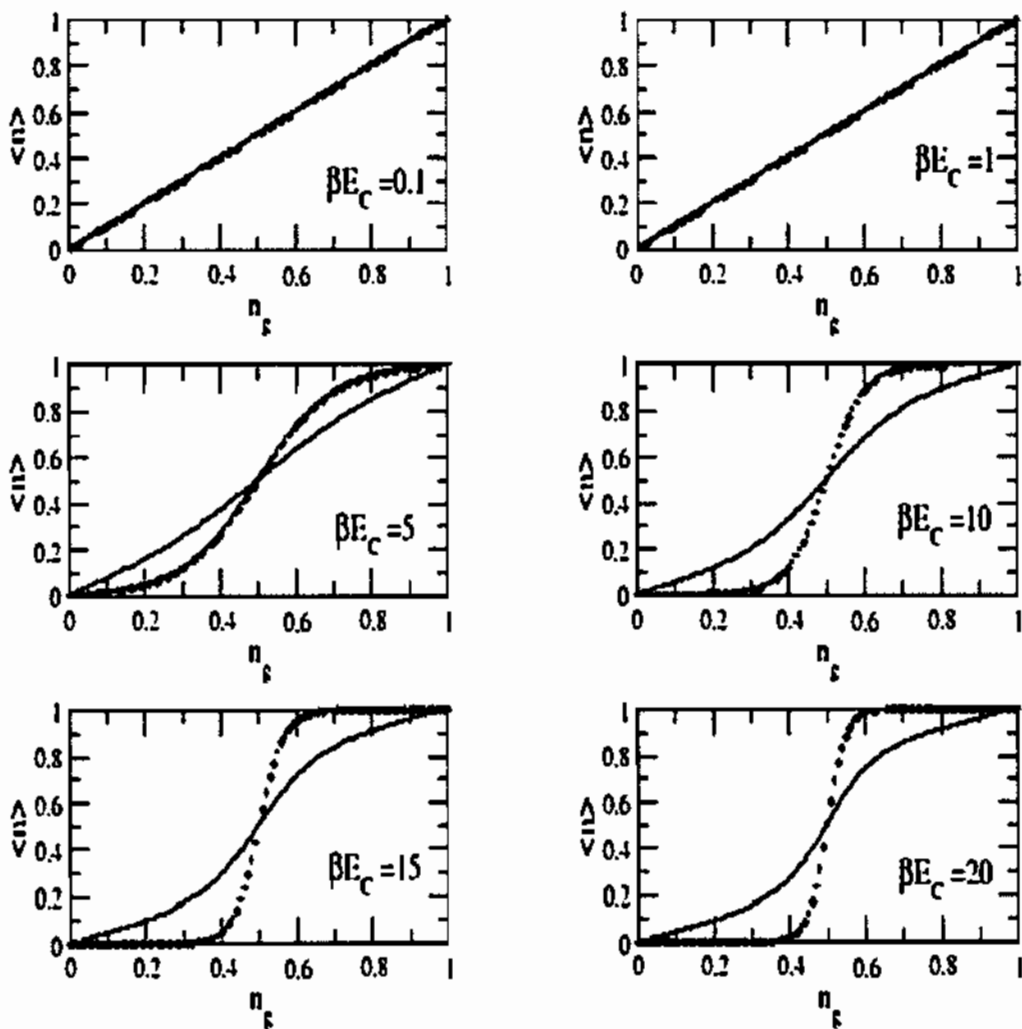
ดังนั้นในการนี้ จำนวนอิเล็กตรอนเฉลี่ยสามารถคำนวณตามสมการ

$$\langle n \rangle = n_e - \frac{\sum_{n=0}^{\infty} n e^{-\beta E_c(n)}}{\sum_{n=0}^{\infty} e^{-\beta E_c(n)}} \quad (4.3)$$

เมื่อ  $E_c(n)$  หมายถึงพลังงานการเพิ่มประจุซึ่งเป็นไปตามสมการที่ (2.11) ในสมการนี้ได้ใช้โบลท์มันน์แฟกเตอร์ (Boltzmann Factor) กล่าวคือพจน์  $\exp(-\beta E_c)$  เป็นความน่าจะเป็นของเหตุการณ์  $E(n)$  นอกจากนี้ในสมการนี้ได้พิจารณาผลปรากฏการณ์การทะลุผ่าน (Tunneling Effect) ดังนั้น

สมการนี้จึงเป็นจริงเฉพาะที่อุณหภูมิสูง กว่าคือ  $k_B T \gg E_c$  หรือ  $\beta E_c \ll 1$  ซึ่งอนุภาคในระบบนี้จะมีพฤติกรรมเป็นไปตามการแจกแจงของแมกโนเลส์โบลท์ซันน์

ในการคำนวณจำนวนอิเล็กตรอนเฉลี่ยโดยวิธีความตั้มมอนติคาร์โล ในลำดับแรกต้องคำนวณค่าเฉลี่ยของจำนวนปานกลาง ตามสมการที่ (3.27) และนำค่าดังกล่าวไปแทนลงในสมการที่ (2.28) สุดท้าย แล้วจำนวนอิเล็กตรอนเฉลี่ยสามารถเขียนได้ตามสมการที่ (3.37) ซึ่งวิธีดังกล่าวนี้ได้พิจารณา พลังงานที่เกิดจากประกายการณ์หลักผ่าน (ตามสมการที่ (3.24)) และพลังงานจากแรงคูลอมบ์ (ตาม สมการที่ (3.25)) ดังนั้นจำนวนอิเล็กตรอนเฉลี่ยในทราบชีสเตอร์แบบอิเล็กตรอนเดียวที่คำนวณได้โดย วิธีการนี้จึงสอดคล้องกับประกายการณ์ที่เกิดขึ้นในทราบชีสเตอร์แบบอิเล็กตรอนเดียวทุกช่วงอุณหภูมิ ผลการคำนวณของห้องส่องวิชีได้ถูกแสดงและเปรียบเทียบกัน ในรูป 4.1



รูปที่ 4.1 ผลการคำนวณจำนวนอิเล็กตรอนเฉลี่ยในทราบชีสเตอร์แบบอิเล็กตรอนเดียว โดยข้อมูลสีดำ และข้อมูลสีแดงเป็นผลที่คำนวณได้จากทฤษฎีแบบดั้งเดิมและวิธีการความตั้มมอนติคาร์โลตามลำดับ

จากรูปที่ 4.1 ในกรณีที่  $\beta E_c = 0.1$  และ  $\beta E_c = 1$  ผลการคำนวณหั้งสองวิธีมีค่าใกล้เคียงกันมากอันเนื่องมาจากการที่อุณหภูมิมีค่าสูง อิเล็กตรอนที่อยู่ข้างซ้ายสมดังงานจะคงมาก่อนสามารถหล่อผ่านไปยังความตั้มดอทได้ในสภาวะนี้ไม่เกิดปรากฏการณ์การขัดขวางแบบคูลอมบ์ ในกรณีนี้จำนวนอิเล็กตรอนเฉลี่ยในทรานซิสเตอร์แบบอิเล็กตรอนเดียวซึ่งมีค่าแปรผันตรงกับค่า  $n_g$  แต่ในกรณีที่  $\beta E_c = 5$ ,  $\beta E_c = 10$ ,  $\beta E_c = 15$  และ  $\beta E_c = 20$  จำนวนอิเล็กตรอนเฉลี่ยที่คำนวณจากหั้งสองวิธี มีค่าที่แตกต่างอย่างชัดเจนซึ่งกรณีนี้เป็นกรณีที่หลังงานจอล์ของอิเล็กตรอนมีค่าน้อยกว่าหลังงานการเพิ่มประจุ กล่าวคือ  $E_c > k_B T$  เป็นผลให้ปรากฏการณ์ขัดขวางแบบคูลอมบ์กลایเป็นปรากฏการณ์เด่นชัดขึ้น โดยสังเกตได้จากเมื่อค่า  $n_g$  มีค่าประมาณ 0.5 อิเล็กตรอนจะสามารถผ่านเข้าไปยังความตั้มดอทได้ ในกรณีของทฤษฎีแบบดังเดิมซึ่งไม่ได้พิจารณาผลของปรากฏการณ์หล่อผ่านอิเล็กตรอนสามารถลดหล่อผ่านที่  $n_g$  เท่ากับ 0.5 เท่านั้นกล่าวคือกราฟที่ได้เป็นลักษณะเต็ปพิงก์ชัน (Step Function) แต่ในส่วนของผลที่คำนวณได้จากความตั้มมอนติคาร์โลมีลักษณะการเปลี่ยนแปลงคล้ายกับผลที่ได้จากทฤษฎีแบบดังเดิม อันเป็นผลที่เกิดจากปรากฏการณ์การหล่อผ่านซึ่งได้ทำให้ลักษณะของเส้นกราฟมีความต่อเนื่องมากขึ้นดังแสดงไว้ในรูปที่ 4.1

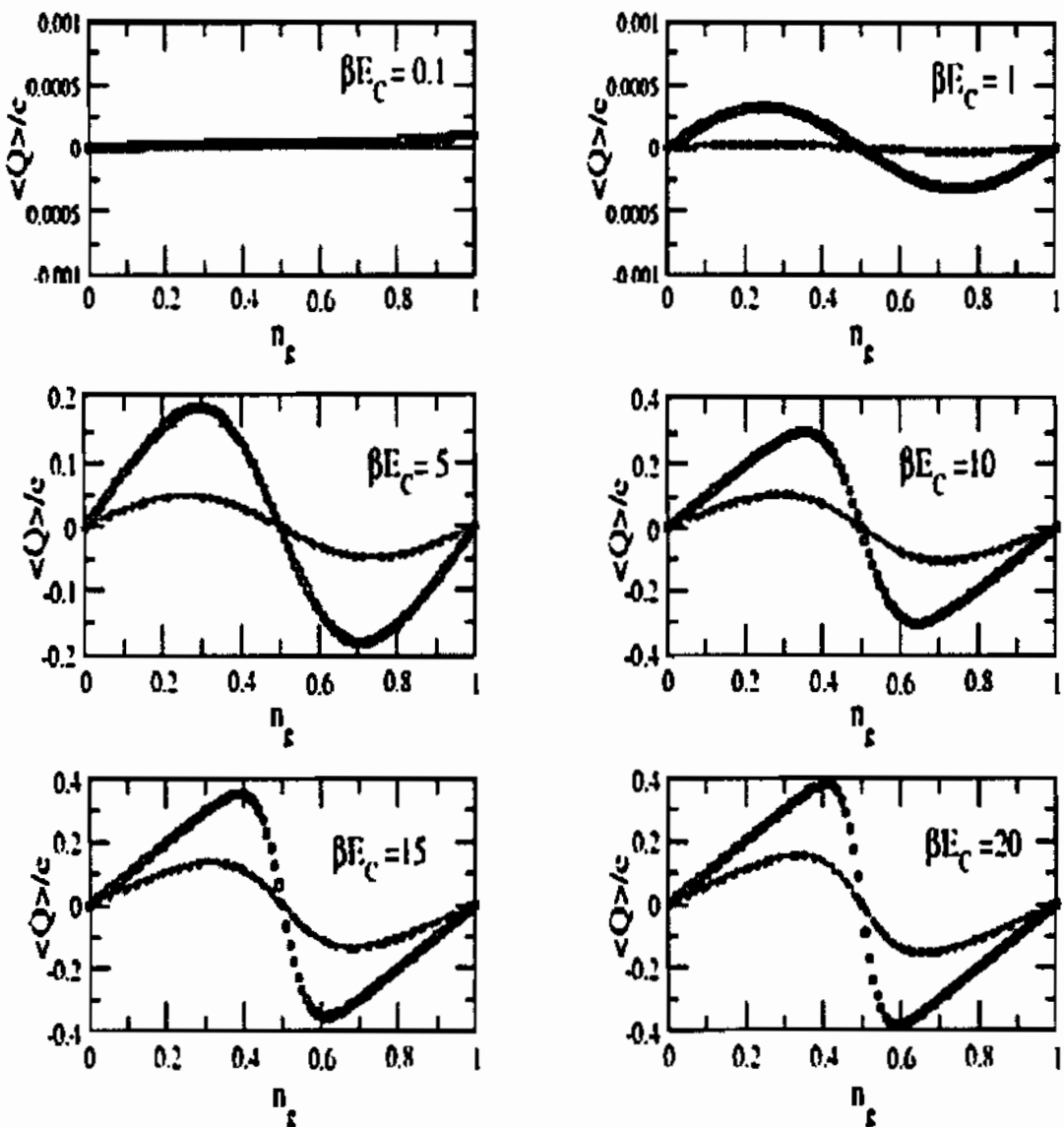
## 4.2 จำนวนประจุสุทธิเฉลี่ยในทรานซิสเตอร์แบบอิเล็กตรอนเดียว

ในหัวข้อนี้แสดงผลของการคำนวณจำนวนประจุสุทธิเฉลี่ย ซึ่งนิยามตามสมการ

$$\langle Q \rangle = n_g - \langle n \rangle \quad (4.2)$$

โดยค่า  $n_g = C_g V_g / e$  และค่า  $\langle n \rangle$  เป็นข้อมูลที่คำนวณได้จากหัวข้อ 4.1 ซึ่งสามารถแสดงได้ดังรูปที่ 4.2

จากรูปที่ 4.2 ในกรณีที่  $\beta E_c = 0.1$  และ  $\beta E_c = 1$  เห็นได้ชัดว่าหั้งสองวิธีคำนวณจำนวนประจุสุทธิเฉลี่ยมีค่าใกล้เคียงกันมาก กล่าวคือจำนวนประจุสุทธิเฉลี่ยมีค่าประมาณศูนย์เนื่องจากอิเล็กตรอนมีหลังงานจอล์สูงมากจนสามารถลดหล่อผ่านความตั้มดอทได้โดยไม่เกิดปรากฏการณ์ขัดขวางแบบคูลอมบ์ ทำให้จำนวนประจุรวมสุทธิมีค่าประมาณศูนย์ กล่าวคือมีการถ่ายเทอิเล็กตรอนด้วยหลังงานความร้อนเท่านั้น แต่ในกรณีที่  $\beta E_c = 5$ ,  $\beta E_c = 10$ ,  $\beta E_c = 15$  และ  $\beta E_c = 20$  จำนวนอิเล็กตรอนเฉลี่ยที่อยู่ในทรานซิสเตอร์ที่คำนวณจากหั้งสองวิธีมีค่าที่แตกต่างกัน กล่าวคือที่  $\beta E_c \gg 1$  ปรากฏการณ์ขัดขวางแบบคูลอมบ์สามารถที่สังเกตเห็นได้ชัดเจน ดังนั้นการที่อิเล็กตรอนสามารถที่หล่อผ่านมายังความตั้มดอทได้ ต้องใช้หลังงานเท่ากับหลังการเพิ่มประจุกล่าวคือที่  $n_g = 0.5$  ส่วนความแตกต่างระหว่างผลการคำนวณโดยวิธีหั้งสองเป็นผลอันเนื่องจากปรากฏการณ์การหล่อผ่าน



รูปที่ 4.2 ผลการคำนวณประจุสุทธิเฉลี่ยในทราบชีสเทอร์แบบอิเล็กตรอนเดี่ยว โดยข้อมูลสีดำเป็นผลที่คำนวณได้จากทฤษฎีแบบดั้งเดิม ส่วนข้อมูลสีแดงคือผลที่คำนวณได้จากการวิธีคำนวณตั้มมองติการโล

### 4.3 ผลการเปรียบเทียบระเบียบวิธีซิงค์เกิลไซต์อัพเดพและฟูเรียร์อัพเดพ

ในหัวข้อนี้แสดงผลการเปรียบเทียบการคำนวณหาจำนวนอิเล็กตรอนเฉลี่ยโดยใช้ระเบียบวิธีซิงค์เกิลไซต์อัพเดพและฟูเรียร์อัพเดพ ในโครงงานนี้ใช้การสุ่มตัวอย่าง 1,000,000 และ 250,000 ตัวอย่างสำหรับวิธีซิงค์เกิลไซต์อัพเดพและวิธีฟูเรียร์อัพเดพตามลำดับ ด้านล่างนี้เป็นค่าตัวเลขของทร็อตเตอร์ (Trotter Number) ของทั้งสองกรณีค่าเดียวคือ  $N = 128$  นอกจากนี้ในการคำนวณค่าความคลาดเคลื่อนของข้อมูล ได้ทำการคำนวณค่าจำนวนอิเล็กตรอนเฉลี่ยโดยใช้ชุดของตัวเลขลุ่มที่แตกต่างกัน 5 ชุดเพื่อให้ได้ตัวอย่างที่เป็นอิสระต่อกัน 5 ชุดข้อมูล ดังนั้นค่าเฉลี่ยสามารถคำนวณได้จากสมการ

$$\langle n \rangle_{avg} = \frac{1}{5} \sum_{i=1}^5 \langle n_i \rangle, \quad (4.3)$$

และส่วนเบี่ยงเบนมาตรฐานคำนวณได้ตามสมการ

$$\sigma^2 = \frac{1}{5} \sum_{i=1}^5 (n_i - \langle n \rangle_{avg})^2 \quad (4.4)$$

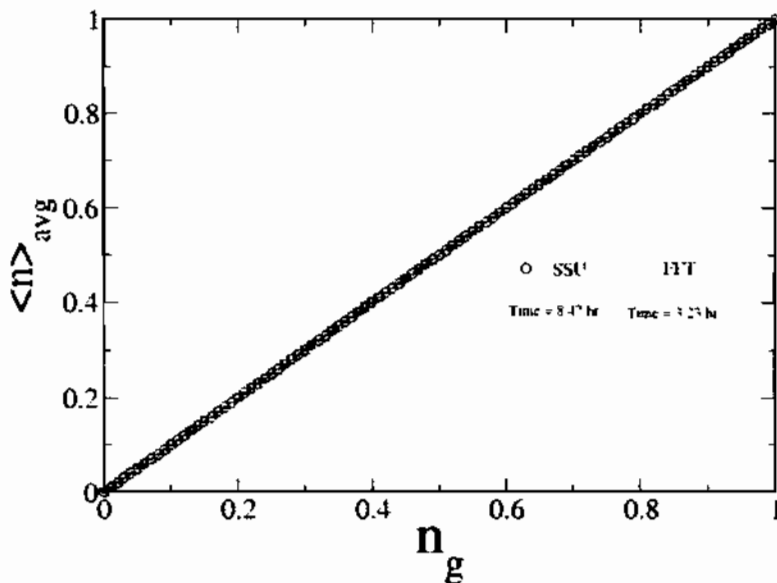
ดังนั้นค่าความคลาดเคลื่อนของการคำนวณโดยมอนติคาร์โลซึ่งถูกแสดงในรูปของแท่งความคลาดเคลื่อน (Error Bar) ตามสมการ

$$\varepsilon = \sqrt{\frac{\sigma^2}{5}} \quad (4.5)$$

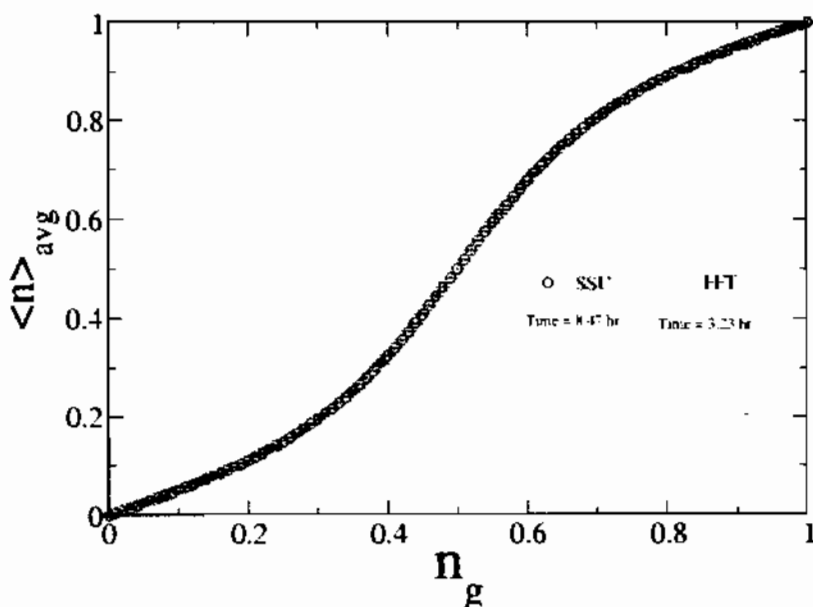
จากสมการ (4.5) ค่าความคลาดเคลื่อนของการคำนวณโดยมอนติคาร์โลสามารถคำนวณได้ดังนี้

$$\varepsilon = \sqrt{\frac{1}{5} \sum_{i=1}^5 (n_i - \langle n \rangle_{avg})^2} \quad (4.6)$$

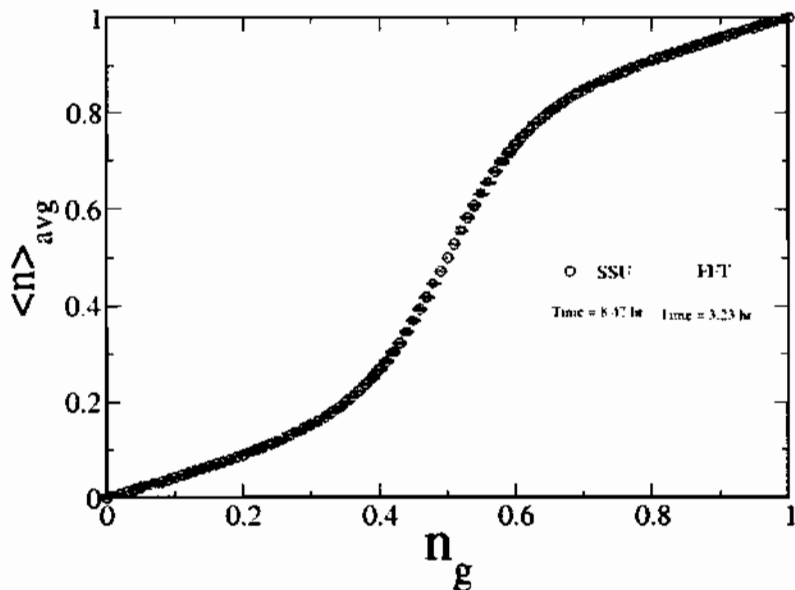
จากสมการ (4.6) พบว่าค่าจำนวนอิเล็กตรอนเฉลี่ยตามสมการที่ (3.37) ถูกเขียนใหม่เป็น  $\langle n \rangle = \langle n \rangle_{avg} \pm \varepsilon$  โดยที่ค่าความคลาดเคลื่อนแบ่งผันกับรากที่สองของจำนวนของตัวอย่างที่ถูกสุ่มโดยผลการคำนวณถูกแสดงไว้ในรูปดังต่อไปนี้



รูปที่ 4.3 จำนวนอิเล็กตรอนเฉลี่ยจากการคำนวณโดยวิธีซิงค์เกิลไซด์อัพเดพและฟูเรียร์อัพเดพที่  $\beta E_c = 1$



รูปที่ 4.4 จำนวนอิเล็กตรอนเฉลี่ยจากการคำนวณวิธีซิงค์เกิลไซด์อัพเดพและฟูเรียร์อัพเดพที่  $\beta E_c = 10$



รูปที่ 4.5 จำนวนอิเล็กตรอนเฉลี่ยโดยจากการคำนวณวิธีซิงค์เกิลไซด์อัพเดเพและฟูเรียร์อัพเดเพที่  $\beta E_c = 20$

จากรูปที่ 4.3-4.5 พบว่าผลการคำนวณจำนวนอิเล็กตรอนเฉลี่ยทั้งสองวิธีได้ผลตรงกันทุกค่า อุณหภูมิ แต่สิ่งที่แตกต่างกันคือค่าความคลาดเคลื่อนและเวลาในการประมาณผลตั้งแต่ร่างที่ 4.1

ตารางที่ 4.1 ค่าความคลาดเคลื่อนเฉลี่ย  $\bar{\varepsilon}$  จากการคำนวณทั้งสองวิธีที่อุณหภูมิต่างๆโดย  $\bar{\varepsilon}$  นิยามตาม สมการ (4.7) ในการนิของ SSU ใช้เวลาในการประมาณผลเฉลี่ย 8.47 ชั่วโมง ส่วนการนิของ FFT ใช้เวลา ในการประมาณผลเฉลี่ย 3.23 ชั่วโมง

$\bar{\varepsilon}$	$\beta E_c = 1$	$\beta E_c = 10$	$\beta E_c = 20$
SSU	0.001	0.050	0.118
FFT	0.003	0.033	0.068

$$\bar{\varepsilon} = \sqrt{\frac{1}{100} \sum_{i=1}^{100} (n_i - \bar{n})^2} \quad (4.7)$$

จากสมการที่ (4.7) ค่า 100 หมายถึงจำนวนในการแบ่งช่วงของค่า  $n_g = (0,1)$  จากตารางที่ 4.1 ค่า ความคลาดเคลื่อนที่เกิดขึ้นทั้งสองวิธีมีค่าแปรผันตรงกับอุณหภูมนิกล่าวคือเมื่ออุณหภูมินิมีค่าลดลงค่าความ คลาดเคลื่อนมีค่าเพิ่มขึ้น ซึ่งค่าความคลาดเคลื่อนนี้เป็นความคลาดเคลื่อนของระบบ (Systematic Error) เกิดขึ้นจากการคำนวณใช้ค่าตัวเลขของกรดเตอร์ ( $N=128$ ) ทุกค่าอุณหภูมิ ทำให้  $\Delta\tau \approx 0.008$

และ  $\Delta\tau \approx 0.159$  ในกรณีที่อุณหภูมิ  $\beta E_c = 1$  และ  $\beta E_c = 20$  ตามลำดับ ดังนั้นค่าความคลาดเคลื่อนซึ่งแปรผันตรงกับ  $\Delta\tau^2$  จึงมีค่าเพิ่มขึ้นเมื่อค่าอุณหภูมิต่าง [5]

นอกจากนี้ตารางที่ 4.1 ในกรณีที่อุณหภูมิสูงคือ  $\beta E_c = 1$  การคำนวณมองติดาร์โลโดยใช้วิธีซิงค์เกิลไซด์อัพเดพให้ค่าความคลาดเคลื่อนน้อยกว่าการคำนวณด้วยวิธีฟูเรียร์อัพเดพ ซึ่งสามารถอธิบายได้ว่าที่อุณหภูมิสูงทางเดินที่เป็นไปได้ทั้งหมดกระจายตัวอยู่รอบๆ ทางเดินแบบฉบับ (Classical Path) ดังนั้นค่าความคลาดเคลื่อนจะไม่เข้าอยู่กับวิธีในการสุ่มตัวอย่างแต่เข้าอยู่กับจำนวนของตัวอย่างกล่าวคือวิธีซิงค์เกิลไซด์อัพเดพใช้จำนวนตัวอย่าง  $M = 1,000,000$  และ วิธีฟูเรียร์อัพเดพใช้จำนวนตัวอย่าง  $M = 250,000$  ซึ่งค่าความคลาดเคลื่อนที่ได้ย่อ缩แปรผันตรงกับ  $M^{-1/2}$  นั่นเอง

แต่ที่อุณหภูมิต่ำกว่าคือ  $\beta E_c > 1$  ค่าความคลาดเคลื่อนของวิธีฟูเรียร์อัพเดพมีค่าน้อยกว่าวิธีซิงค์เกิลไซด์อัพเดพ ซึ่งสามารถอธิบายได้ว่าทางเดินที่เป็นไปได้ทั้งหมดกระจายออกจากทางเดินแบบฉบับมากกว่าที่อุณหภูมิสูงกล่าวคือเข้าสู่ช่วงของปราภูมิการณ์ความตัน (Quantum region) คือยิ่งอุณหภูมนี้ค่าลดต่ำลงการกระจายก็มากตามไปด้วย ดังนั้นในการสุ่มตัวอย่างจึงต้องอาศัยระเบียบวิธีที่ทำให้การสุ่มตัวอย่างกระจายออกไปครอบคลุมทางเดินที่เป็นไปได้ให้มากที่สุด ซึ่งจากตารางที่ 4.1 จะเห็นได้วายิ่งอุณหภูมิต่ำการคำนวณด้วยวิธีฟูเรียร์อัพเดพยิ่งมีประสิทธิภาพสูงกว่าวิธีซิงค์เกิลไซด์อัพเดพตั้งเห็นได้จากค่าความคลาดเคลื่อนและเวลาที่ใช้ในการประมาณ



## บทที่ 5

### สรุปผลและข้อเสนอแนะ

#### 5.1 สรุปผลการทดลอง

จากการคำนวณจำนวนอิเล็กตรอนเฉลี่ยในทรานซิสเตอร์แบบอิเล็กตรอนเดียว โดยใช้วิธีความตั้มมอนติการ์โลพบว่าจำนวนอิเล็กตรอนขึ้นอยู่กับค่าสักยไฟฟ้าที่ให้เข้ากับขั้วเกต ในการนี้ที่อุณหภูมิต่ำ กล่าวคือ  $\beta E_c > 1$  ผลการคำนวณได้แสดงให้เห็นถึงการเกิดปรากฏการณ์ขัดขวางแบบคูลอมบ์ที่เกิดขึ้นในทรานซิสเตอร์แบบอิเล็กตรอนเดียว นอกจากนี้ผลการคำนวณยังแสดงให้เห็นถึงปรากฏการณ์การหลุดผ่านของอิเล็กตรอนที่เกิดขึ้นร่วมกับการเกิดปรากฏการณ์ขัดขวางแบบคูลอมบ์ซึ่งเป็นเงื่อนไขที่สำคัญของอุปกรณ์อิเล็กตรอนเดียว

ในโครงการนี้ยังได้เปรียบเทียบผลการคำนวณจำนวนอิเล็กตรอนเฉลี่ยโดยใช้ระเบียบวิธีชิงค์เกิลไซด์อัพเดพกับระเบียบวิธีฟูเรียร์อัพเดพ พบว่าที่อุณหภูมิต่ำ ซึ่งเป็นบริเวณที่เกิดปรากฏการณ์ขัดขวางแบบคูลอมบ์การคำนวณโดยระเบียบวิธีฟูเรียร์อัพเดพมีประสิทธิภาพสูงกว่าระเบียบวิธีชิงค์เกิลไซด์อัพเดพดังสังเกตได้จากค่าความคลาดเคลื่อนที่น้อยกว่าและสามารถลดเวลาในการประมวลผลได้ถึง 38%

ดังนั้นจึงสรุปได้ว่าระเบียบวิธีฟูเรียร์อัพเดพมีประสิทธิภาพสูงกว่าระเบียบวิธีชิงค์เกิลไซด์อัพเดพในการคำนวณหาจำนวนอิเล็กตรอนเฉลี่ยในทรานซิสเตอร์แบบอิเล็กตรอนเดียว โดยเฉพาะในช่วงอุณหภูมิที่เกิดปรากฏการณ์ขัดขวางแบบคูลอมบ์

#### 5.2 ข้อเสนอแนะ

จากการศึกษาทรานซิสเตอร์แบบอิเล็กตรอนเดียวโดยใช้วิธีความตั้มมอนติการ์โล มีข้อเสนอแนะสำหรับผู้ที่สนใจศึกษาในเรื่องนี้ ดังต่อไปนี้

1. ใน การศึกษาอุปกรณ์อิเล็กตรอนเดียวแบบอิเล็กตรอนเดียว ยงด้วยว่า เช่นเดียวกับระบบของทรานซิสเตอร์แบบอิเล็กตรอนเดียว ยกตัวอย่างเช่นชิงค์เกิลไซด์อิเล็กตรอนปั๊ม (Single Electron Pump) [13] โดยใช้วิธีความตั้มมอนติการ์โลนั้น ขอเสนอให้ใช้ระเบียบวิธีฟูเรียร์อัพเดพในการประมวลผลเพื่อที่จะได้รับผลการคำนวณที่ถูกต้องและยังลดเวลาในการประมวลผลได้

2. ในโครงการนี้ใช้ค่า  $N$  คงที่ทุกรอบมีมั่ว่าที่อุณหภูมิสอดต่ำลง ซึ่งในความเป็นจริงแล้วค่าที่ต้องค่าเท่ากันคือค่า  $\Delta \tau = \beta E_c / N$  เพื่อจำกัดให้ค่าความคลาดเคลื่อนของระบบ (Systematic Error) มีค่าเท่ากัน ดังนั้นในการศึกษาครั้งต่อไปเมื่อค่าอุณหภูมิลดต่ำลงหรือเมื่อ  $\beta E_c$  เพิ่มขึ้นควรเพิ่มค่า  $N$  เพื่อให้  $\Delta \tau$  มีเท่ากันทุกค่าอุณหภูมิ



3. ในการแปลงค่าแรกขั้นของทราบซีสเตอร์แบบอิเล็กตรอนเดี่ยวในโครงงานพิสิกส์สามารถเขียนเฉพาะค่าคูลอนบ์แรกขั้นให้อยู่ในเทอนของสัมประสิทธิ์ฟูเรียร์ได้เท่านั้น แต่ไม่ได้เขียนตัวแรกขั้นของการทดสอบให้อยู่ในเทอนของสัมประสิทธิ์ฟูเรียร์ ซึ่งถ้าเขียนแรกขั้นของการทดสอบให้อยู่ในเทอนของสัมประสิทธิ์ฟูเรียร์มีความเป็นไปได้ที่จะสามารถลดเวลาในการประมวลผลลงได้

บรรณานุกรม

## បរទេសាស្ត្រកម្ម

- [1] H. Grabert and M. H. Devoret, Single Charge Tunneling, Plenum Press, New York, vol. 294 of NATO ASI series B: Physics (1992).
- [2] J. W. Negele and H. Orland, Quantum Many-Particle Systems, vol. 68 of Frontiers in Physics (Addison-Wesley, 1987).
- [3] M. H. Devoret, D. Esteve and C. Urbina, Single-Electron Transfer in Metallic Nanostructures, Nature 360, 547 (1992).
- [4] C. Theis, G. Goeppert and H. Grabert, Conductance of the Single-Electron Transistor: A Comparison of Experimental Data with Monte Carlo Calculations, Phys. Rev. B 66, 125314 (2002).
- [5] C. Theis, Conductance of Single Electron Devices from Imaginary-Time Path Integrals, Ph.D. thesis, Albert-Ludwigs-University, Freiburg i. Br. (2004).
- [6] C. Chakravarty, M. Gordillo and D. M. Ceperley, A Comparison of the Efficiency of Fourier-and Discrete Time-Path Integral Monte Carlo, J. Chem. Phys (1998).
- [7] H. Pothier, P. Lafarge, C. Urbina, D. Esteve and M. H. Devoret, Direct Observation of Macroscopic Charge Quantization, EuroPhys. Lett. 17, 249 (1992).
- [8] R. Waser, Nanoelectronics and Information Technology, Advanced Electronic Materials and Novel Devices (WILEY-VCH, 2003).
- [9] G. Goeppert and H. Grabert, Charge Fluctuations in the Single-Electron Box, Phys. Rev. B 63, 125307 (2001).
- [10] S. Weinierl, Introduction to Monte Carlo Methods, (NIKHEF Theory Group, 2000).
- [11] M. Newman and G. T. Barkema, Monte Carlo Methods in Statistical Physics, (Oxford University Press, Oxford, 1999).
- [12] R. P. Feynman and A. R. Hibbs, Quantum Mechanics and Path Integrals, (McGraw-Hill, Inc, 1995).

- [13] P. Srivilai, Quantum Monte Carlo Study the Metallic Single Electron, Ph.D. thesis, Albert-Ludwigs-University, Freiburg i. Br. (2012).

ต้นฉบับไม่ปรากฏข้อมูล



ประวัติย่อผู้วิจัย

### ประวัติผู้จัดทำโครงการ



ชื่อ-นามสกุล	นายตะวัน ทองสุข
วัน/เดือน/ปีเกิด	10 ตุลาคม 2533
ภูมิลำเนา	1 หมู่ 9 ต. นาจ้า อ. น้ำโสม จ. อุตรธานี
	อ. น้ำโสม จ. อุตรธานี
E-mail	tawanthongsuk@hotmail.co.th
โทรศัพท์	084-6838232

### ประวัติการศึกษา

พ.ศ. 2546	สำเร็จ การศึกษาระดับประถมศึกษาจาก โรงเรียนบ้านนาจ้า ต. นาจ้า อ. น้ำโสม
พ.ศ. 2552	สำเร็จ การศึกษาระดับมัธยมศึกษาจาก โรงเรียนน้ำโสมพิทยาคม ต. นาจ้า อ. น้ำโสม
พ.ศ. 2556	สำเร็จ การศึกษาระดับปริญญาตรี วิทยาศาสตรบัณฑิต สาขาวิชาฟิสิกส์ คณะวิทยาศาสตร์ มหาวิทยาลัยมหาสารคาม ต.ขามเรียง อ. กันทรลักษย จ. มหาสารคาม